

МИНИСТЕРСТВО ГЕОЛОГИИ СССР
МИНИСТЕРСТВО ГЕОЛОГИИ РСФСР
БУРЯТСКОЕ ГЕОЛОГИЧЕСКОЕ УПРАВЛЕНИЕ

ЭКЗ. № 59

ГЕОЛОГИЧЕСКАЯ

КАРТА СССР

масштаба 1:200 000

Серия Восточно-Саянская

ЛИСТ М-47-VI

Объяснительная записка

Составитель А. Л. Санбург
Редактор В. П. Арсентьев

Утверждено филиалом Научно-редакционного совета ВСЕГЕИ
при СНГГИМС 10 мая 1962 г., протокол № 8



ИЗДАТЕЛЬСТВО «НЕДРА»
МОСКВА 1968

СОДЕРЖАНИЕ

Стр.

Введение	
Стратиграфия	4
Интрузивные образования	3
Тектоника	14
Геоморфология	19
Полезные ископаемые	23
Подземные воды	25
Литература	35
Приложения	36
	40

ВВЕДЕНИЕ

Территория листа М-47-VI относится к Тункинскому и Охинскому районам Бурятской АССР и Косогольскому аймаку Монгольской Народной Республики. Географические координаты листа: $101^{\circ}00' - 102^{\circ}00'$ в. д. и $51^{\circ}20' - 52^{\circ}00'$ с. ш. от Гринвича.

Площадь, расположенная в пределах Бурятской АССР, охватывает западную половину Тункинских гольцов и северо-западную часть хр. Хамар-Дабан. Горные сооружения разделены широтной системой впадин и междуречного среднегорья. Тункинские гольцы, простирающиеся в субширотном направлении в северной половине площади, являются наиболее крупным горным сооружением на юго-востоке Восточного Саяна. Узкие глубокие водоразделы, глубокие долины с кругым невыравненным продольным профилем, изобилующие в верховьях ледниками карами, дюрами, а в нижних — ущельями, характеризуют рельеф хребта как альпийский. Максимальные абсолютные отметки вершин достигают здесь 2900—3260 м. Глубина эрозионного вреза колеблется от 400 до 1500 м. Северо-западные отроги Хамар-Дабана, расположенные на юге территории листа вдоль границы с МНР, представлены серией меридиональных хребтов, постепенно поникающихся к северу и имеющих куполовидные или плоские водоразделы. Их максимальные абсолютные отметки составляют 2500—2995 м. Глубина эрозионного вреза колеблется от 300 до 1300 м.

Центральная часть района вклиняет в себя Хойтогольскую, Турансскую, частично Тункинскую и Мондинскую впадины. Хойтогольская и Тункинская впадины являются наклонными предгорными равнинами, абсолютные высоты которых постепенно уменьшаются к югу от 1500—1200 м на границе с Тункинскими гольцами до 900—800 м у подножия хр. Хамар-Дабан. Туранская впадина выполнена наносами р. Иркут и является аллювиальной равнины. Среднеогорье Ниловского отрога, разделяющее впадины, отличается мягкими формами рельефа, сравнительно небольшими абсолютными высотами (1200—1600 м) и относительными превышениями (200—600 м). Обнаженность района хорошая.

Основные водные артерии района — реки Иркут и Китой — пересекают плющаль листа в широтном направлении. Наиболее крутыми притоками р. Иркута, дrenaирующими южные склоны Тункинских балков и хр. Хамар-Дабана, являются реки Ихе-Ухунь, Хубты, Ихэгер, Ильшикни, Хара-Гол, Халагун, Мал. и Больш. Занисаны. Северные склоны Тункинских балков дrenaируются притоками Китоя — реки Шара-Гол, Урга-Гол, Ара-Хонголой, Аранголой, Шумак. Общая протяженность речной сети около 1200 км.

Климат района характеризуется ограничительными зимой и коротким дождливым летом. Характерны большие амплитуды колебаний суточных и годовых температур. Населенные пункты района — поселки Турэн, Шимки, Хайт-Гол и др. — сосредоточены в долине р. Иркута. Связь между ними осуществляется автомобильным транспортом. Население занимается, в основном, земледелием, скотоводством и частично пушным промыслом.

Первые исследования, проведенные на площади листа, относятся к сороковым годам прошлого столетия. В 1835 г. Г. С. Ковригин, производя в вер-

Технический редактор Е. Я. Соколовская
Корректор Л. М. Безменова

Редактор издательства Е. Я. Соколовская
Формат 60×90^{1/16}.
Тираж 100 экз.

Издательство «Недра»

Ленинградская картфабрика ВАГТ

хольях рек Иркута и Китоя поисковые работы на золото, составил первую геологическую карту района. В последующие годы прошлого столетия долину р. Иркута и Ниловский отрог посетили Н. И. Башкевич (1856), П. А. Кропоткин (1867), А. Л. Чекановский (1872), И. Д. Черский (1875), В. А. Обручев (1890).

В 1930—1940 гг. в районе работали А. В. Левов (1930), А. А. Лисовский (1930), П. И. Налетов (1930—1932), П. Е. Луненок (1931—1934), В. Н. Лодчиков (1930—1941), С. В. Обручев (1942), Н. Д. Соболев (1933), Н. Ф. Логинов (1936), Н. И. Фомин (1939) и др. Их работы позволили выяснить основные черты геологического строения района и явились основой для последующих изысканий.

В 1951 г. в Тункинской, Хойтогольской, Туринской и Мондинской впадинах были проведены комплексные геофизические исследования. Методами гравимагнитной съемки и вертикального электрического зондирования, с целью выявления тектонических структур, перспективных на нефть и газ (В. К. Фоглер, 1952). Положительных результатов эти работы не дали.

С 1953 по 1957 гг. в районе проводили исследования сотрудники Лаборатории геологии Докембрия АН СССР С. В. Обручев, И. П. Буяков, В. Н. Дав, Г. М. Другова, И. В. Сумин, Л. Г. Никитина. Ими была составлена стратиграфическая схема докембрия Тункинских гольцов и западных отрогов хр. Хамар-Дабан.

В этой схеме впервые было систематизировано сложное многообразие докембрийских толщ. Л. Г. Никитиной проведено изучение фаций метаморфизма в архее хр. Хамар-Дабан. Позднее Н. Н. Вишняковым (1958), Ю. В. Шемякиным (1958) и Б. В. Шерчинским (1958) в северной части района проведены поисково-съемочные работы.

Геологическая карта, карта полезных ископаемых и объяснятельная записка составлены, в основном, по материалам автора и редактора, полученным ими в 1958—1960 гг. при проведении копидионной геологической съемки масштаба 1:200 000. Кроме того, в различной степени использованы материалы предыдущих исследователей. Геологическая съемка сопровождалась металлометрической съемкой и шлиховым опробованием. При составлении геологической карты использованы аэрофотоснимки. Дешифрируемость снимков удовлетворительная.

СТРАТИГРАФИЯ

Площадь листа М-47-VI слагают, главным образом, архейские и протерозойские метаморфические толщи. Интузивные образования распространены менее широко и представлены преимущественно гранитоидами. В хр. Хамар-Дабан и в Ниловском отроге на водоразделах сохранились покровы неогеновых базальтов. Впадины выполнены кайнозойскими отложениями.

Архейская группа

Среди осадочно-метаморфических образований площади листа М-47-VI архейские толщи пользуются наибольшим распространением. Ими сложена крупная региональная структура — Тункинская антиклинальная зона, протягивающаяся к востоку до оз. Байкала. Отдельные тектонические блоки этого структуры получили в литературе наименование «глыб» (С. В. Обручев, 1949). В пределах территории листа выделены Хонголойская, Шумакская, Ниловская и Хамарголанская глыбы.

К архейским образованиям нами отнесены глубокометаморфизованные и сложно-дислокированные породы, которые по литологическому составу и стратиграфическому положению соответствуют шарыжалгайской, слюдянской сериям и хангартульской толще.

Нижний архей

Шарыжалгайская серия нерасщепленная (A_{1s})

Породы этой серии развиты в юго-восточной части района в истоках рек Бол. и Мал. Занисан. Залегая в ядре антиклинальной структуры, они образуют пояса шириной 4—9 км северо-западного направления. В составе серии преобладают серые среднезернистые биотитовые гнейсы, среди которых встречаются маломощные (до 70 м) прослои амфиболово-биотитовых гнейсов и амфиболитов. Характерно почти полное отсутствие кварцитов и горнокарбонатного состава. Вблизи докембрийских гранитоидных интрузий породы интенсивно митматизированы.

Биотитовые гнейсы характеризуются лепидогранобластовой и нематолепидогранобластовой структурами гнейсогидной, тонкоточеччатой, изредка очковой текстурой. Минеральный состав их довольно однообразен: плагиокальевый (35—50%) кварц (15—30%), биотит (10—25%). Изредка встречается кальевый полевой шпат. Из акцессорных минералов присутствуют гранат, циркон, рутил, рудный минерал. Вторичные минералы — скандианит, мусковит, серицит и хлорит. Плагиоклаз представлен в основном олигокальцитом (№ 18—22). Сильвинит и мусковит развиваются по плагиоклазу и биотиту. Содержание их в некоторых разновидностях пород достигает 5%. Амфиболово-биотитовые гнейсы по структурно-минералогическим особенностям аналогичны биотитовым гнейсам, но отличаются от них присутствием роговой обманки (до 10—15%). Амфиболиты обладают гетерогенностью роговой обманки и гнейсогидной текстурой. Состоит они из зеленой роговой обманки и плагиоклаза среднего и основного состава. Изредка встречаются обманки и кварц. Контакты между всеми разновидностями пород нечеткие.

Изучение гнейсов под микроскопом показало наличие в ряде из них участков реликтовых гранитных и микропемматитовых структур, что позволяет рассматривать их как ортогнейсы. По-видимому, этим в какой-то мере можно объяснить отсутствие в составе серии мраморов и кварцитов. Нижняя и верхняя границы пород шарыжалгайской серии не установлены. Нижняя мощность превышает 3000 м. Не исключена возможность, что описаные выше образования представляют собой стратиграфический аналог слюдянской серии, представленной в иных фациях.

Верхний архей

Слюдянская серия нерасщепленная (A_{2s})

Породы слюдянской серии широко распространены вдоль долины р. Иркута, в бассейнах рек Халагуна, Харалгол, в нижнем течении рек Бол. и Мал. Занисан и на южном склоне Тункинских гольцов. Серия представлена мраморами и кальцифарами, переслаивающимися с амфиболовыми, биотитовыми и амфиболово-биотитовыми гнейсами и кристаллическими сланцами, кварцитами и кварцево-амфиболовыми породами с альтитом. Нетосредственных взаимоотношений между слюдянской и шарыжалгайской сериями на площади листа не наблюдалось. Восточнее, в бассейне р. Эун-Мурин, по данным Л. П. Никитиной (1960), мраморы слюдянской серии согласно залягают на гнейсах шарыжалгайской серии.

Наиболее полные разрезы слюдянской серии наблюдались в верхнем течении р. Халагуна и на правом склоне долины р. Иркута, в окрестностях Обрунского месторождения апатита. В верховых р. Халагуна представлена нижняя часть разреза. В 7 км выше устья р. Горхона вниз по течению р. Халагуна породы залягают в следующей последовательности (снизу вверх):

1. Биотитовые гнейсы
2. Амфиболиты

3. Окварцованные мраморы с маломощными (до 10 м) прослоями биотитово-амфиболовых гнейсов	600 м
4. Биотитовые и амфиболовые гнейсы	600 „
5. Мраморы	80 „
6. Карбонатно-амфиболовые породы	250 „
7. Биотитовые гнейсы	50 „
8. Мраморы	50 „
9. Биотитово-пироксеново-амфиболовые кристаллические сланцы	200 „
10. Кальцифиры	50 „
11. Кварц-амфиболовые сланцы	80 „
12. Карбонатно-пироксеново-амфиболовые породы	100 „
13. Катализированные биотитовые гнейсы	150 „
14. Амфиболовые гнейсы	100 „

Верхняя часть слюдянской серии описана В. Н. Давом (1959) в районе Обрубского месторождения апатита. Вдоль высокой шоссейной дороги с запада на восток отмечены (снизу вверх):

1. Биотитовые, биотитово-амфиболовые гнейсы и плагиогнейсы
2. Амфиболовые, биотитово-амфиболовые сланцы и рассланцованные амфиболиты

3. Мраморы с форстеритом, диопсидом, тремолитом и кальцифиры

4. Биотитовые и биотитово-амфиболовые сланцы

5. Кварциты диопсидовые и сливные

6. Биотитовые и биотитово-амфиболовые сланцы

7. Диопсидовые кварциты

8. Биотитовые станины

9. Мраморы и кальцифиры

10. Апатитоносные породы

11. Мраморы и кальцифиры

12. Кварциты сливные

13. Диопсидовые кварциты

14. Апатитоносные породы

15. Мраморы и кальцифиры

16. Кварциты сливные с прослоями апатитоносных пород

17. Мраморы

18. Диопсидовые кварциты с прослоями апатитоносных пород

19. Кварциты сливные

20. Мраморы и кальцифиры

21. Диопсидовые кварциты с прослоями апатитоносных пород

22. Биотитовые кальцифиры

23. Мраморы и кальцифиры

24. Диопсидовые кварциты

25. Мраморы и кальцифиры с прослоями апатитоносных пород

26. Диопсидовые кварциты с прослоями апатитоносных пород

40 м

30 „

8 „

9 „

28 „

15 „

8 „

3 „

45 „

8 „

6 „

10 „

7 „

25 „

10 „

4 „

12 „

2 „

75 „

3 „

6 „

35 „

Хангарульская толща (A₂C₂)

Гнейсы и кристаллические сланцы хангарульской толщи слагают крупные участки в пределах Холголинской и Шумаковской глыб в Тункинских горах и западную часть Хамардабанской глыбы в бассейне р. Бол-Хара-Гол.

Толща сложена биотитовыми, гранатово-биотитовыми, амфиболово-биотитовыми, амфиболовыми гнейсами и кристаллическими сланцами, среди которых встречаются сравнительно мало мощные (до 100 м), невыдержаные по простиранию, горизонты мраморов и амфиболитов. Таким образом, по составу хангарульская толща отличается от слюдянской серии значительно меньшим содержанием карбонатных, кварцитовых и пироксенодержащих пород.

Хангарульская толща согласно залегает на слюдянской серии и связана с ней постепенными переходами. Подтверждением этому является разрез, составленный по ручью, впадающему в р. Иркут, в 2 км выше пос. Харалабан. Породы переставляются здесь в следующей последовательности (снизу вверх). Слюдянская серия.

1. Оквартированные мраморы
2. Кварциты
3. Пироксеновые кальцифиры с маломощными (до 20 см) прослоями кварцитов
4. Амфиболовые кальцифиры с прослоями (толщиной до 50 м) биотитовых гнейсов. Хангарульская толща
5. Непосредственно на амфиболовых кальцифирах без видимого несогласия залегают амфиболовые гнейсы
6. Биотитовые гнейсы
7. Гранатово-биотитовые гнейсы
8. Амфиболовые гнейсы
9. Мраморы
10. Амфиболово-биотитовые гнейсы
11. Гранатово-биотитовые гнейсы

Как видно из разреза, граница между слюдянской серией и хангарульской толщей отчетливо проводится условно.

Гнейсы и кристаллические сланцы хангарульской толщи по минеральному составу и структурам почти не отличаются от таких же разновидностей пород, развитых в Шарыкайтской и Стойлинской сериях. Единственным существенным отличием является то, что в гнейсах и кристаллических сланцах хангарульской толщи довольно часто встречаются высокоглиноземистые

минералы (до 10—15%). Кроме кварца, слагающего основу массы пород, обладают гранатобластовой, лепидогранатобластовой, нематогранатобластовой структурами. Гнейсовинил и масивной текстуры. В их составе в периметрических количествах присутствуют плагиоклаз, кварц, роговая обманка, биотит, моноклинный пироксен (диопсид). Плагиоклаз чаще всего представлен олигоклазом. Из акессорных минералов встречаются апатит, сфен, рутиль, мицерал, гранат, циркон. Вторичные минералы представлены пеллитом, сернистым кальцитом, хлоритом, эпиломитом, лимонитом. Вблизи контактов с гранитами интрузий в составе слюдянской серии появляется микроклин.

Амфиболиты в составе слюдянской серии встречаются редко. Состав они из роговой обманки и плагиоклаза, наряду встречается кварц. Широко распространение в составе слюдянской серии мраморов, кварцитов и кальцифиров указывает на осадочное происхождение большей части слагающих ее пород. Мощность серии 3000—3500 м.

минералы — ставролит и гранат, наличие которых указывает на первона-
чальный глинистый состав этих образований. Мощность хангарулской толщи
3000—4000 м.

Архейские образования смяты в мелкие изоклинальные складки преимущественно субширотного простирания и прогнуты глубокий и неоднократный метаморфизм. Л. П. Никитина, изучавшая метаморфизм архейских город западной части хр. Хамар-Дабан и Тункинских боров, установила несколько перволов метаморфизма. К наиболее раннему периоду относится региональный метаморфизм. В результате регионального метаморфизма, протекавшего в условиях алфоболитовой фации, мощные толщи первичных осадков и превративших их птигроны были превращены в различные гнейсы и кристаллические сланцы. Наиболее метаморфические процессы последующих периодов уже локально распространение.

В архейских образованиях широко проявились процессы калиевого, патриевого и кварцевого метасоматоза. При внедрении гранитондов саянского комплекса архейские образования подверглись kontaktному метаморфизму, который выразился в мигматизации, мусковитизации, спиломитизацию, микрокалинзации, хлоритизации и окварцевывании гнейсов и сланцев. Наиболее интенсивно kontaktовый метаморфизм проявился в породах шарыкальской серии на контакте с Записанским массивом гранитондов. Мощность kontaktового орогена достигла здесь 2—3 км. К началу позднему периоду метаморфизма архейских пород относится диафторез, связанный с дливоинтвильными нарушениями. Он проявился в замещении высокотемпературных минералов низкотемпературными — гидроксидолекуляющими минералами, характерными для фации зеленых сланцев. Гнейсы в зонах регressiveного метаморфизма превратены в серпентиново-хлоритовые, хлоритово-карбонатные, албитово-актинолитовые и другие сланцы. Наиболее интенсивно регressiveный метаморфизм проявился в краевых частях архейских глыб. Мощность зон диафтореза достигает здесь 3 км.

Архейский возраст развитых на площади листа гнейсовых и гнейсово-карбонатных толщ принят уставно. Высокая степень регионального метаморфизма, минеральные ассоциации пород и сложная внутренняя тектоника позволяет сопоставить их с архейскими образованиями юго-западного Прибайкалья.

Относительно возраста хангарулской толщи единого мнения нет. Одни исследователи относят ее к верхнему архею, другие — к нижнему протерозою.

Нижний — средний комплекс протерозоя (?)

Иркутская свита (Ир.-Шир.)

Породы иркутской свиты распространены вдоль северного крыла Тункинской антиклинальной зоны в верховых рек Куйбышев, Ара-Онеги, Ирга-Гола и Толты. Крупная цепь, сложенная породами иркутской свиты, отмечена среди архейских гнейсов в бассейне р. Ара-Хонголой.

В составе смыты преобладают мраморы, содержащие маточинные прослои и линзы сланцев, гнейсов и кварцитов. В верховых р. Ара-Хонголой и по ее правому притоку — р. Зүйгорт, а также в верховых р. Ара-Хонголой-Болотовых гнейсах хангарулской толщи. Мощность конгломератового горизонта достигает 250 м. Гальки конгломератов хорошо окатаны и представлены биотитовыми и гранатово-биотитовыми гнейсами и кристаллическими сланцами, мраморами, кварцитами, албитогнейсами и кварцитами. Размеры гальек колеблются от 0,5 до 20 см в поперечнике. Минеральный состав цемента: кварц, птигроит, биотит, мусковит, птигроит, апатит. Структура цемента эпилит, кальевый полевой шпат, турмалин, рутил, апатит. Структура цемента гетерогластовая, гетеробластовая, порфиробластовая. Впервые эти конгломераты были обнаружены в 1943 г. М. Л. Щурье и С. В. Обручевым (1950) и позднее описаны Г. М. Друговой (1957) и И. П. Букиковым (1960). Внеш-

но разрезу на конгломератах залегает горизонт суперглино-карбонатных сланцев и кварцитов (50 м), которые сменяются монтикой (более 1000 м) толщей мраморизованных известняков.

Довольно полно разрез иркутской свиты представлен в верхнем течении р. Ара-Онеги. Основание свиты здесь слагают кутины наливом. Востоку от налива наблюдается следующий разрез (снизу вверх):

1. Белые мраморизованные и промолитированные известняки	500 м
2. Серые графитизированные известняки	600 "
3. Темно-серые полосатые известняки	100 "
4. Тёмно-серые слюдоисто-углисто-карбонатные сланцы	60 "
5. Серые среднесернистые биотитовые гнейсы	20 "
6. Белые мраморизованные известняки	100 "
7. Белые и серые полосчатые известняки	80 "
8. Белые крупнокристаллические мраморизованные известняки с гранитом	400 "

Известники, слагающие основную часть разреза иркутской свиты, обладают средне- и крупнокристаллическим строением, частично, роже, полосчаты или слоисты. Характер их интенсивная мраморизация, биотитизированность, графитизация и окварцевование. Мраморизация и окварцевование наиболее интенсивно проявлены близ контактов с изверженными породами и в зонах текtonических нарушений. Здесь же довольно часто известняки отшлифованы и скавированы. Структура их граниобластовая и монтичная. В составе известняков, кроме кальцита, часто встречаются кварц, графит, биотит, мусковит, турмалин, диопсид, апатит. Содержание графита в некоторых участках в верхних рек Ара-Онеги и Кхера достигает 3%.

Простой гнейсов, тяготеющие к нижней части разреза иркутской свиты, характеризуются биотитовым и биотито-гнейсом. Структура известняковых сланцев, образующих в известняках и простой монтической. В первых метров до 100 м, выделяются следующие разности: карбонато-хлоритово-серпентиновые, карбонато-биотитовые, албитово-серпентиново-хлоритово-серпентиновые, кварцово-биотитовые, сплюшесто-карбонатные с гранитом и углистые. Структура сланцев лептобластовая, лептограптобластовая с участками порфробластовой, текстура сланцеватая. Кварциты образуют малоизмененные (1,5—4 л) простой и состоят из изометрических зерен кварца, среди которых нередко встречаются участки карбонатных минералов. Мощность иркутской свиты 2000—3500 м.

Иркутская свита составляет единый структурный комплекс с перекрывающей ее среднепротерозойской ильчирской свитой. В Цербониско-Удинском районе Восточного Саяна и в Туве стратиграфическая аналогия иркутской свиты (Леринская и Балыктахская свиты) согласно залегают на широком протяжении ее отложений нижнего и среднего протерозойских отложений. Промежуточное положение иркутской свиты между отложениями нижнего и среднего протерозоя определяет уставно ее возраст как поздне-протерозойский.

Средний комплекс протерозоя (?)

Ильчирская свита (Ильч.-Шир.)

Породы ильчирской свиты распространены в северной части плоскогорья Ара-Хонголой и Шумака.

В истоках р. Шумака (приток р. Мург-Гола) ильчирская свита согласно залегает на иркутской. В ее составе присутствуют разнообразные сланцы, песчаники и измененные эфузивы, среди которых встречаются птигроиты и вестниковые.

Вниз по течению р. Шумак от северного края Ильчирской глыбы наблюдается следующий разрез ильчирской свиты (снизу вверх):

1. Слюдисто-карбонато-кварцевые сланцы	100 м
2. Филлитовые сланцы	60 "

3. Измененные основные эфузивы	80	м
4. Кварцевые песчаники	15	"
5. Сернистово-хлоритовые сланцы	40	"
6. Перемежающиеся измененные эфузивы (эпидотово-кварцево-хлоритовые породы) с кварцево-хлоритовыми сланцами	700	"
7. Польвошпатово-кварцевые песчаники	100	"
8. Глинисто-карбонатные сланцы	60	"
9. Польвошпатово-кварцевые песчаники	150	"

Сланцы ильчирской свиты имеют различные минеральные ассоциации: кварцевые, кварцево-сернистово-хлоритовые, эпидотово-хлоритово-

карбонатные, углисто-карбонатные, двуслойисто-карбонатно-кварцевые,

альбит-сернистово-хлоритовые, биотитовые, амфиболовые и др. Они обла-

дают лепидолитобластовую, порфиробластовую, микролитобластовую и не-

матобластовую структуры, сланцеватой, полостчатой, реже гнейсовиной и

микроточчатой текстурами. Из породообразующих минералов наиболее рас-

пространены кварц, встречающийся во всех разновидностях, кальцит, полевой

шпат, соответствующий оливин-клинопироксену, реже — альбиту, хлорит, эпидот,

серпентит, мусковит, обыкновенная роговая обманка, актинолит и биотит.

Эффеузивы развиты преимущественно в верхней части сланцев. Они в зна-

чительной степени хлоритизированы и превращены в рассланцованные зелен-

нокаменные породы. Среди них определены плагиопирократиты, диабазы, аль-

биграфиры с реликтиами порфировой и бластофильтовой структур.

Песчаники, в отличие от сланцев, имеют гораздо меньшие разновидно-

стей. Они представлены почты однообразными массивами или слабо рас-

тацированными полевошпатово-кварцевыми псаммитами со слюдисто-карабо-

натным цементом.

Известники встречаются преимущественно в верхней части разреза. По

структуре и минеральным особенностям они не отличаются от известняков ильчирской свиты.

Мощность ильчирской свиты 1500 м. Возраст ее определяется условно как среднепротерозойский, так как она согласно залегает на нижне-среднепротерозойской иркутской свите и несогласно перекрывается флювиастически

Кембрийские отложения нерасщепленные

Саганская толща (Сагсг)

Породы этой свиты встречаются на обоих склонах долины р. Китоя и в бассейнах рек Яман-Гол, Шумака, Ара-Ошса, Урга-Гола, Шара-Гола. Она несогласно залегает на различных горизонтах ильчирской свиты, по правобережью р. Китоя ее подстилают песчаники, на водоразделе Китоя и Шара-

Гол хлоритово-кварцевые сланцы, в бассейнах рек Янтарсык и Ушарина — амфиболовые сланцы. На водоразделе Ара-Хубты и Яман-Гол между монгошинской и ильчирской свитами наблюдается азимутальное несогласие. За пределами площасти в бассейне р. Горлык-Гол (Арсентьев, 1961) в основании монгошинской свиты залегает горизонт конгломератов.

Свита сложена монотонной толщей известняков, доломитизированных известняков и доломитов с маломощными прослоями метаморфических сланцев и алевролитов.

Среди карбонатных пород встречаются массивные, рассланцованные, брекчийвидные, слоистые и полосчатые разновидности. Цвет их чаще всего белый и серый, реже черный и розовый. Структура мозаичная и гранобластовая. Состоит они из кальцита и доломита, нередко окварцеваны. Кварц содержится в виде прожилков и терригенных зерен. Примеси глинистого и углестого — материала обычно сконцентрированы в прослояках, придающих горо-кам полостчатый облик. Из других примесей присутствуют рудный минерал,

мусковит, хлорит, серицит, эпидот, апатит. Доломитизированные известняки и доломиты отличаются от известняков тонкозернистым строением и встречаются в виде линз и простое преимущественно в верхней части разреза. Сланцы, образующие в монгошинской свите малоносные (до 50 м) простые, имеют полосчатую и сланцеватую текстуры, микролитограптобластовую, реже гранобластовую и гранометабластовую структуры. Среди них выделяются кварцево-амфиболовые, сплошисто-карбонатно-кварцевые, хлоритово-карбонатно-кварцевые, хлоритово-слоисто-карбонатные, глинисто-карбонатные, углисто-карбонатные и другие разновидности. Полосчатость в сланцах обусловлена чередованием прослоев различного состава. Некоторые разновидности сланцев, по-видимому, имеют эфузивное происхождение, о чем свидетельствуют сохранившиеся в них реликты порфировой структуры.

В бассейнах рек Яман-Гол, Нарин-Гол, Ара-Хубты, Шумак среди известняков Монгошинской свиты найдены остатки водорослей *Coprophytum garnicium* K. Gol., *Newlandia tuncinica* fortia nov., *Collinsonia solenites* punctata, *Osagia sajana**.

По заключению И. К. Королюк, форма *Coprophytum* дает основание считать, что Монгошинская свита соответствует средней или нижней части позднекембрия и может сопоставляться с улунгуйской свитой Прибайкалья. Формы *Newlandia* и *Osagia sajana* также характеризуют монгошинскую свиту как позднекембрийскую. Мощность свиты 2000—2500 м.

Протерозойские и верхнетретерозойские отложения составляют единый структурный комплекс и смыты в линейные изоклинальные складки. Породы претерпели региональный, контактический и дислокационный метаморфизм. Их минеральные ассоциации указывают на то, что региональный метаморфизм протекал в условиях зеленосланцевой и эпидотамфиболовой фаций. Степень метаморфизма ослабевает вверх по разрезу: от низкогемпературной ступени эпидот-амфиболовой фации в породах иркутской свиты до фации зеленых гнейзовидных интрузиями породы ороговикованы и скарированы.

* Определение флоры произведено И. К. Королюк

Верхний комплекс протерозоя

Монгошинская свита (Ртагсг)

Породы сагансайской толщи слагают узкую грабенсингильянальную структуру в северо-западной части площасти листа. За пределами района, по левобережью р. Китоя сагансайская толща с резкими и стратиграфическими несогласиями залегает на известниках монгошинской свиты, содержащими ма-ломощные прослои сланцев.

Конгломераты залегают в нижней части разреза. В составе галек отмечены кварциты, известняки, песчаники, сернистово-карбонатно-кварцевые сланцы, филилиты, кварцевые порфириты. Преобладают гальки известняков. Цемент конгломератов карбонатный и кварцево-карбонатный.

Песчаники приурочены к верхней части толщи. Структура их псамmitовая и бластопсаммитовая. Обломки представлены кварцем и полевым шапом. Цемент кварцево-карбонатный. Сланцы, образующие линзы и простой мощностью 5—10 м, имеют сернистово-карбонатный состав. Структура толщи из микролитограптобластов, текстура сланцеватая. Мощность толщи 600 м.

Слабая степень метаморфизма, своеобразные структурно-литологические особенности сагансайской толщи отличают ее от докембрийских толщ и позволяют сопоставить с кембрийскими терригенными отложениями смежных районов Восточного Саяна.

Неогеновая система

Тиссинские базальты плато, оливиновые (ВН)

Базальты распространены на водоразделах в северных отрогах хр. Хамар-Дабан, в Туранском хребте и Ниловском отроге. Базальтовые покровы залегают на размытой поверхности, занятые базальтами, в общем, накоплены к северу, в сторону впадин. Их абсолютные отметки колеблются от 2400 м в хр. Хамар-Дабан до 1000 м в Ниловском отроге.

Излияниям базальтов предшествовали в некоторых местах выбросы пирокластов и образование базальтовых туфов. Так, в обрыве по правому берегу р. Бол. Тайтарка В. Н. Лодочников (1937) наблюдал следующий разрез (снизу вверх):

1. Спементированный галька базальтов	0,4 м
2. Стекловатые туфы базальтов	11 "
3. Базальты	1 "
4. Галька базальтов	1 "
5. Базальты	1 "
6. Галька базальтов	1 "
7. Базальты	1 "
8. Наносы	

Это ображение позволяет предполагать о наличии четырех базальтовых потоков, разделенных поверхностями размыва. Среди базальтов выделяются несколько разновидностей, связанных между собой постепенными переходами: 1) базальты полнокристаллические, среднезернистые; 2) базальты мелкозернистые, с небольшим содержанием стекла; 3) витрофирированные базальты, часто пористые; 4) базальтовые стекла. Структура базальтов пойкилофитовая, долеритовая, микродолеритовая, интересная, гиалопилитовая или гиалитовая. Текстура миндалекаменная и микроминдалекаменная. Наиболее распространены оливиновые базальты. Их основная масса состоит из мелких лежей плагиоклаза (набрадора), между которыми заключены кристаллы оливина, пироксена, титанистого магнетита и остатки бурого нефелина. Структура базальтов обычно оливиновая, раскристаллизованная стекла. В порфировых вкраплениях обычны оливин, реже пироксен и плагиоклаз. Вторичные минералы представлены хлоритом, щелочным ильменитом, кальцитом и гидроокислями железа. Мощность базальтовых покровов резко меняется на коротких расстояниях и колеблется от первых десятков метров до нескольких сотен метров. В Туранском хребте она достигает 350 м. Резкое изменение мощности покровов обусловлено первоначальными древними базальтовыми особенностями и условиями залегания базальтов. Структурно-минералогические особенности и условия залегания базальтов позволяют сопоставить их с неогеновыми лавами Еловского отрога и Окинского плоскогорья.

Четвертичная система

Нижний — средний отделы (Q_{1-2})

Бий-Хемские базальты и туфы известны по р. Хулугайше (левый приток Иркута) в 3 км от устья, где они разрушают вулканический аппарат, названный В. Н. Лодочниковым (1938) диграммой. Базальтовые породы обнаружены здесь в ущелье с почвы отвесными стенками и представлены на 90% буровато-желтоватыми туфами, содержащими многочисленные обломки шлаковидного базальта и вулканического стекла, размеры которых достигают 1—2 м в диаметре. Реже наблюдается обломки известняков величиной до 1 м. Туфы не имеют никаких признаков слоистости. Среди туфовой массы наблюдается пласт сильно пузырьстых базальтов или спумулитов. Мощность спумулитов 3,25—3,50 м. Кроме того, они прорваны базальтовой жилью, мощностью 30—40 см. Сплошная масса туфов протягивается вверх по р. Хулугайше на расстоянии около 400 м и перекрывает ледниками, которые прослеживаются на несколько десятков метров.

Вниз по реке туфы сменяются базальтами, которые прослеживаются на несколько десятков метров.

Туфы состоят из обломков и цемента. Обломки в основном представлены прозрачным стеклом. Форма их округлая, реже угловатая. В стекле наблюдаются лежцы лабрадора, кристаллы оливина, пироксена и магнетита.

Цемент представлен менее прозрачным стеклом, в котором наблюдаются мелкие кристаллы оливина и плагиоклаза.

Слумилитовые базальты сложены оливином, плагиоклазом, альбитом, рудным минералом и остальной стекловатой массой. Структура их малоподвижная, реже витрофирированная. Жильные базальты состоят из темной, почти непрозрачной стекловатой массы (70%), среди которой наблюдаются кристаллы оливина, переплетающиеся с лежцами плагиоклаза.

Возраст вулканических образований р. Хулугайши определяется как нижне-среднечетвертичный по аналогии с бий-хемскими базальтами Тувы, застекающими на нижнечетвертичных галечниках (Додин, 1951). Сравнительные туфы вулкана — диграммы р. Хулугайши с постплитоценовыми слумилитовыми лавами Таловской, Хобокской и Кунтинской групп вулканических холмов в Тункинской впадине, И. В. Беглов (1957) отметил их полную аналогию по химическому составу и некоторое несущественное различие в степени раскрытия стекловаты. На террасном листе туфы перекрываются средне-верхнечетвертичными ледниками отложениями.

Средний и верхний отделы (Q_{2-3})

Морены долин и водоразделов, характеризующих собой два этапа оледенения — покровный и долинный, различить на плохади листа очень трудно. Следы покровного оледенения сохранились лишь на плоских вершинах Хамар-Дабана в виде редких эратических валунов. Основная масса обломочного материала вынесена ледниками во впадины. Ледниковые отложения слагают значительные площади в Хойтогольской, Мондынской и Ильчирской впадинах, а также встречаются в троговых долинах многих рек района. Преобладает валунно-галечный материал, песчано-глинистая фракция имеет подчиненное значение. Размер валунов достигает 2,5 м в диаметре.

В составе валунов и гальки встречаются породы, слагающие Тункинские гольцы и хр. Хамар-Дабан. Мощность ледниковых отложений колеблется от нескольких десятков до нескольких сотен метров.

Флювиогляциальные отложения выполняют края Хойтогольской, Тункинской и Туранской впадин. Представлены они валунно-галечно-песчаным, реже глинистым материалом. Иногда наблюдается слоистость. У подножия Тункинских гольцов преобладает валунно-галечный материал, имеющий значительную мощность. Скважина, пробуренная около пос. Хойтогол на глубину 75 м, не вышла из рыхлых отложений. На правом берегу Иркута, у Обурского месторождения апатита, в шурфах среди мелкоблочных водно-ледниковых отложений обнаружены костные остатки млекопитающих (Супкович, 1957). Среди них л. и. Ивановым определены коренной зуб мамонта (*Mammuthus primigenius* Blum), пещерная и торонтая кости первобытного зубра (*Bison priscus* Boj.). Эти данные свидетельствуют о позднеледниковых в возрасте отсылаемых отложений. В целом ледниковые и водно-ледниковые образования Восточного Саяна датируются как средне-верхнечетвертичные.

Верхний и современный отделы (Q_{3+4})

Деловиально-проливиальные отложения образуют предгорный шлейф у подножия Тункинских гольцов. Представлены они грубообломочным, реже песчано-галечным материалом, перекрывающим все ранее образованные ледниковые и аллювиальные отложения. Мощность деловиально-проливиальных отложений колеблется от нескольких метров до нескольких десятков метров.

Аллювиальные отложения русел, поим и террас нижнего комплекса распространены в основном в долинах наиболее крупных рек — Иркута, Ихэ-ухуна, реки, стекающие с Тункинских гольцов и хр. Хамар-Дабана, выносят аллювий во владины. Аллювиальные отложения поим и низких террас в долине р. Иркута имеют сплошной, песчано-илистый состав. В верхней части террас наблюдаются косостоящие пески. В аллювиальных отложениях рек, стекающих с Тункинских гольцов, преобладает валуно-галечный материал.

Озерно-болотные отложения, представленные песками, илами и торфами, распространены в западной части Тункинской владины, где они занимают площадь около 30 км². Мощность их 10—15 м.

Интрузивные образования

Интрузивные образования слагают около 30% площади листа. По возрасту они соответствуют архейскому, верхнепротерозойскому и нижнекембрийскому магматическим этапам. Преобладают гранитоиды, породы основного и среднего состава имеют подчиненное значение. Архейские интрузии представлены еловским и китайским комплексами, верхнепротерозойские — саянским комплексом, внутри которого выделены три фазы. Завершает интрузивную деятельность нижнекембрийский боксонский комплекс.

Архейские интрузии

Еловский интрузивный комплекс (НΣА)

Этот комплекс объединяет сильно измененные, перекристаллизованные породы основного и ультраосновного состава.

Измененные породы основного состава слагают сравнительно небольшой (около 30 км²) массив в северо-западной части Шумакской глыбы архея. Внешне — это темно-серые и зеленовато-темно-серые мелкозернистые, большей частью массивные, реже слаплеватые, породы. Под микроскопом они определяны как пироксеново-биотитово-амфиболово-плагиоклазовые, биотито-

воло-плагиоклазовые с гранатом, биотитово-кварцево-плагиоклазовые породы, обладающие гетеролепидогранобластовой или нематолепидогранобластовой структурой. Состоит из плагиоклаза (от 20 до 65%), биотита (10—20%), пироксена и амфибила (5—10%), кварца (5—20%), реже граната. Из акцессорных минералов встречаются рудный минерал, турмалин, апатит. Породы подверглись глубинному метаморфизму амфиболовой фации, в результате которого почти все первичные минералы были перекристаллизованы. Местами сохранились лишь таблички плагиоклаза и призматические кристаллы моноклинного пироксена. Кварц, биотит и гранат имеют эпимагматическое происхождение.

В процессе регressiveного метаморфизма, соответствующего фибролитовой и зеленосланцевой фациям, породы подверглись хлоритизации, серпентинизации, пелитизации, мусковитизации, биотитизации, эпилитизации и карбонатизации. Реликты бласто-таббовой структуры указывают на принадлежность пород к древней интрузии основного состава.

Интрузия имеет согласные контакты с вмещающими архейскими гнейсами и, наряду с последними, существует в сложении архейских структур. Все это позволяет относить ее к архейскому магматическому циклу.

К еловскому комплексу условно отнесены также измененные ультраосновные породы, встреченные в виде небольшого ксенолита в верхнепротерозойских гранитах в верховых р. Халалун. Состоит они из моноклинного пироксена, группы диопсида-гелленбергита, почти полностью замещенного роговой обманкой и эпидотом. По-видимому, они являются продуктом изменения пироксенитов.

Этот интрузивный комплекс представлен в южной части площади листа небольшими линейно вытянутыми телами разгнейсированных лейкократовых гранитов, реже гнейсо-гранитов, залегающих согласно с вмещающими архейскими породами.

Лейкократовые граниты — розовато-белые, мелко- и среднезернистые разгнейсированные породы. Структура их гранитовая, участками альбитоморфно-зернистая и мицескитовая, текстура гнейсовидная. Состоят они из микроклина (40—50%), плагиоклаза (15—20%), кварца (30—35%), биотита (до 5%). Аксессорные минералы представлены сфеном, апатитом, пироксено, ортитом, рудным минералом. Плагиоклаз соответствует олигоклазу (№ 20—25). Из эпимагматических минералов широко распространены мусковит, хлорит, пелит, серидит, эпидот.

Гнейсограниты также характеризуются гранитовой и аллотриморфной структурой и гнейсовидной текстурой. В их составе присутствуют олигоклаз (30—40%), калиевый полевой шпат (20—30%), кварц (30—35%), биотит (5—10%). Аксессорные и эпимагматические минералы те же, что и в лейкократовых гранитах. Среди гнейсо-гранитов отмечены разновидности, обладающие очковой структурой. Порфириобласты — плагиоклаз и калиевый полевой шпат — обlieкаются мелкозернистой массой перекристаллизованного кварца и мелкопластичного биотита.

В верховых р. Бол. Хара-Гол гнейсо-граниты прорываются лейкократовыми гранитами. Гранитоиды китайского комплекса совместно с вмещающими породами участвуют в сложении архейских структур и подвергаются региональному метаморфизму в условиях амфиболовой и эпидот-амфиболовой фаций. Они в значительной степени перекристаллизованы, интегсивно катаклизированы; довольно широко в них проявляются процессы калиевого, натриевого и кварцевого метасоматоза. Вмешающие породы на контакте с ними мигматизированы.

Верхнепротерозойские интрузии

Саянский интрузивный комплекс

Породы этого комплекса на территории листа имеют широкое распространение. Комплекс представлен рядом крупных массивов и множеством более мелких штокобразных тел, даск и жил. Наиболее крупные массивы расположены среди архейских образований Тункинской антиклинальной зоны.

Комплекс представляет большой практический интерес, так как с ним связаны редкометалльные и редкоземельные проявления. Характерной особенностью слагающих его пород является их сложная дифференциация. Основной разновидностью являются серые биотитовые граниты.

Становление интрузий саянского комплекса протекало в три фазы. Им соответствуют: 1) диориты и кварцевые диориты; 2) биотитовые, роговообманковые биотитовые, двуслюдянные граниты и гранодиориты, дайки гранит-апатитов и мелкозернистых биотитовых гранитов, пегматиты, 3) микроклиновые граниты, граносиениты, сиениты, дайки гранит-апатитов, пегматиты.

1 фаза. Диориты и кварцевые диориты ($\delta_{\text{pt}}^{\text{pt}}$) слагают небольшие тела неправильной формы в среднем течении рек Ихэ-Ухунь, Хаурга, Хуйхуань, Хээгер, Бульг. Еловые граниты. В пласти они образуют полосы, вытянутые в широтном направлении вдоль южного склона Тункинских гольцов. Почти повсеместно диориты и кварцевые диориты в виде ксенолитов приурочены к аликальным и краевым частям гранитов масивов. Изредка они секутся жилами серых и розовых гранитов. Вместе с тем наблюдаются постепенные переходы диоритов в граниты через гранодиориты.

Диориты и кварцевые диориты представляют собой серые, зеленовато-серые средне- и мелкозернистые массивные породы. Они обладают гипидоморфозернистой и, реже, бластогипидоморфозернистой структурой и состоят из амфиэзита (50–60%), биотита (10–15%) и кварца (3–5% до 10%, в кварцевых диоритах). Из вторичных минералов встречаются сростки, серпентин, хлорит, эпилом, Акессорные минералы — рудный минерал, сфен, апатит. Содержание сфена иногда достигает 2–3%. Химический состав диоритов приведен в табл. 1*.

Таблица 1*

Оксиды	Чистовые характеристики по А. Н. Завариному					
	Вес. %					
	I	II		I	II	
SiO ₂	47,88	52,94	S	60,7	65,0	
TiO ₂	5,71	0,77	a	5,8	10,2	
Al ₂ O ₃	13,93	17,07	b	26,9	17,6	
Fe ₂ O ₃	6,00	3,52	c	6,6	7,2	
FeO	8,88	6,30	Q	3,2	2,4	
MnO	0,14	0,12	a/c	0,8	1,4	
MgO	5,12	3,80	a'	13	6	
CaO	7,78	6,30	m'	34	39	
Na ₂ O	1,65	0,26	f'	53	55	
K ₂ O	1,42	6,18	n'	64	3	
P ₂ O ₅	0,36	0,68	t	8,1	1	
П. п. п.	1,12	1,26	φ	26		
SO ₃	0,23	0,27				
H ₂ O	0,04	0,14				
Сумма	101,27	99,61				

I. Диорит. Водораздел рек Ихэгер и Харым
II. Диорит. Верхнее течение р. Еготы-Харун
* Приведенные в табл. 1 химические анализы произведены в химлаборатории Бурятского геологического управления.

разновидности обладают гипидоморфозернистой структурой основной массы. Состав: граниты из альбит-олигоклаза или олигоклаза (30–40%), кальевого полевого шпата (30–35%), кварца (25–30%), биотита, мусковита, реже роговой обманки (5–10%). Акессорные минералы представлены рутильным минералом, апатитом, цирконом, сференом, редко ортитом. Из вторичных минералов отмечаются пелит, серпентин, эпилом, хлорит, лимонит, карбонат. В порфировидных разностях фенокристаллы преставлены альбитизированым микроклином. В плагиогранитах микроклин совершенно отсутствует.

Гранодиориты слагают периферию массивов и тесно связаны с гранитами. В их составе плагиоклаз значительно преобладает над микроклином, кварц не превышает 20%.

Химический состав гранитоморфов второй фазы приведен в табл. 2.

Таблица 2

Оксиды	Чистовые характеристики по А. Н. Завариному						
	Вес. %						
	I	II	III		I	II	III
SiO ₂	62,30	70,38	70,25	S	71,8	77,3	78,3
TiO ₂	0,40	0,33	0,25	a	14,6	11,6	12,4
Al ₂ O ₃	18,11	15,50	15,85	c	3,2	1,7	3,0
Fe ₂ O ₃	0,44	0,76	0,64	b	10,4	9,4	6,3
FeO	4,08	2,47	2,07	Q	11,2	29,7	28,8
MnO	0,06	0,04	0,03	a/c	4,5	6	41
MgO	1,56	0,94	0,72	f'	34	54	42
CaO	2,61	1,45	2,43	m'	25	16	20
Na ₂ O	2,53	3,05	3,93	t	41	30	38
K ₂ O	6,19	3,70	2,73	n	38	56	69
P ₂ O ₅	0,54	0,06	0,11	φ	0,5	0,3	0,2
П.п.п.	0,48	0,90	0,04	4	6	8	
SO ₃	0,19	0,07	0,16				
H ₂ O	0,12	0,20	—				
Сумма	99,61	99,85	99,16				

I. Гранодиорит. Зангисанский массив
II. Плагиогранит. Зангаринский массив
III. Шелочноземельный гранит. Архатский массив

2 фаза. Биотитовые, роговообманково-биотитовые, дувуплюевые граниты и гранодиориты (У — Убогий) слагают крупные массивы в Тункинских горах, в хр. Хамар-Дабан и Нийловском отроге. В плане форма массивов округлая или удлиненная по простиранию докембрийских структур. Контакты их крутые, резкие в известняках и сланцах протерозоя и интекционные среди архейских гнейсов.

Граниты и гранодиориты — серые, розовато-серые породы мелко-среднекрупнозернистого, перлеко-порфиринного, строения. Реже отмечаются аллитовидные граниты, которые, как и мелкозернистые, приурочены к периферии массивов. Часто они образуют дайки и жилы. Текстура гранитов массивная. В краевых частях интузий наблюдаются первичные линейные и гнейсовые текстуры.

В гранитонах по р. Убогий-Хонголой Ф. П. Митрофановым (1959) установлена трахигоидность, выраженная в плоскостном расположением крупных вкраепленников микроклина или пльюклоаза. Погодная ориентировка трахигоидности в сводовой части при куповых падениях боковых контактов позволяет говорить о куполообразной форме Хонголойского массива. Под микроскопом структура гранитов аллотропоморфозернистая. Порфиринные

связаны проявления молибдита, литея, ниобия и редких земель. 3 фаза. Микроклиновые граниты, гранодиориты, сиениты (У — Убогий) слагают небольшие массивы, дайки и жилы в Тункинских горах и в хр. Хамар-Дабан. Контакты их с вмещающими породами резкие, секущие. Форма массивов близка к изометричной. Приурочены они к ослабленным тектоническим зонам и являются посттектонными образованиями.

Микроклиновыми гранитами, граносенитами и сенитами довольно отчетливо проявляются гранитоиды второй фазы.

Внешне это — розовые, серовато-розовые мелко-, средне- и крупнозернистые породы массивной текстуры. Структура их под микроскопом гипидоморфозернистая или аллотропоморфозернистая с участками пегматоидной и мицрекитовой. Реже отмечается порфиринидная структура. Состав гранитов: микроклин (40%), альбит-олигоклаз (25–30%), кварц (25–30%), биотит (5%). Вместе с биотитом часто присутствует мусковит. Акессорные минералы представляют рудный минерал, сфен, апатит, циркон, ортит. Вторичных минералов содержится гораздо меньше, чем в гранитоидах 2 фазы

саянского комплекса. Среди них отмечены пеллит, серцинит, эпилот, хлорит. В гранитах содержание микроклина увеличивается до 50%, кварц уменьшается до 10%. В сиенитах содержание кварца не превышает 5%, калиевый полевой шпат резко преобладает над плагиоклазом, паряду с биотитом присутствует роговая обманка. Особенности химического состава микроклиновых гранитов и сиенитов отражены в табл. 3.

Таблица 3

Оксиды	Вес. %			Чистовые характеристики по А. Н. Заваричному		
	I	II	III	I	II	III
SiO ₂	63,62	72,84	68,53	S	73,2	77,1
TiO ₂	0,51	0,14	0,35	a	19,1	13,8
Al ₂ O ₃	18,11	14,80	16,29	c	2,1	1,4
Fe ₂ O ₃	1,80	0,17	0,95	b	5,6	4,5
FeO	1,61	1,28	1,43	Q	6	35,7
MnO	0,10	0,04	0,11	a c	9	13,9
MgO	0,75	0,31	0,53	a'	22	10,6
CaO	1,72	1,04	1,40	m'	23	12,5
Na ₂ O	4,40	2,20	4,26	f'	55	27
K ₂ O	6,41	6,58	5,84	n	51	60
P ₂ O ₅	0,13	0,05	0,12	t	0,5	52
П.п.	0,20	0,74	0,40	26,8	0,1	0,3
SO ₃	0,29	0,13	0,06	φ	1,5	22,6
H ₂ O	0,12	0,14				
Сумма	99,77	100,47	100,28			

1. Микроклиновый гранит. Верховья р. Ара-Шеей
- II. Аляскит. Верхнее течение р. Бульк
- III. Граносиенит. Р. Агуу у истоков Нилова Пустыни.

В полях развития гранитоидов третьей фазы саянского комплекса на территории листа выявлены ореолы рассеяния tantalа, ниobia, редких земель, молибдена и бериллия.

Жильные и дайковые породы саянского комплекса представлены мелко-зернистыми биотитовыми гранитами, гранит-аплитами пегматитами и кварцевыми жилами. Дайки мелкозернистых биотитовых гранитов имеют мощность до 50 м. Ими отчетливо секутся порфировидные и разногранитные граниты второй и третьей фаз саянского комплекса, но на карте по фазам они не расчленены.

Жильи и дайки гранит-аплитов чаще всего встречаются во вмещающих породах. По составу они разделаются на плагиоклазовые и микроклиновые. Пегматиты в основном наблюдаются среди вмещающих пород, в зоне эзоконтакта гранитных массивов. По форме они разделяются на жильные и гнездообразные. Мощность жил в среднем 1–2 м, в раздувах достигает 12 м. Состоит они из плагиоклаза, микроклина и кварца. Часто в них существуют мусковит, биотит, гранат, турмалин. Структура пегматитов блоковая и графическая.

Кварцевые жилы распространены как во вмещающих осадочно-метаморфических породах, так и в гранитоидах. Иногда они содеряжат молибденовую минерализацию.

Контактовые воздействия гранитоидов саянского комплекса проявлены широко и выражены в мигматизации, ороговиковании, сквирировании, оквар-

шивании, мусковитизации, силлуминизации, микроклинизации и хлоритизации вмещающих город. Наиболее широко проявлено окварцевание. Возраст гранитоидов саянского комплекса определяется как верхнетретозойский, так как они прорывают позднекембрийскую Монголинскую свиту, а в бассейне р. Оки встречены в тальке конгломератов сархонской свиты нижнего кембра (Арсентьев, 1959).

Нижнекембринские интрузии

Бокситовый интрузивный комплекс (ИВСП)

Этот комплекс известен в пределах площади листа в виде даек диабазов и габбро-диабазов. Мощность даек достигает 25–30 м, протяженность — от нескольких десятков метров до километра. Располагаются они в зонах разломов северо-западного, реже северо-восточного направлений. Диабазы представляют собой темно-серые, зеленовато-серые мелкозернистые массивные породы, обладающие диабазовой структурой. Состоит они из плагиоклаза, моноклинного приоксена и небольшого количества кварца. Плагиоклаз резко плагиоморфен. Зерна моноклинного приоксена (авантита) часто окаймлены роговой обманкой. Аксессорные минералы представлены рудным минералом, апатитом, сфеном. Из вторичных минералов присутствуют сростки, эпилот, хлорит. Габбро-диабазы отличаются от диабазов меньшим идиоморфизмом плагиоклаза. Составление этих образований с породами бокситового комплекса произведено условно. Прежде всего они близки по составу. Как и в смежных районах (верховья рек Оки, Иркута) дайки диабазов имеют северо-западное простирание и пересекают массивы верхнепротерозойских гранитоидов.

Тектоника

Территория листа М-47-VI расположена в восточной части краевого жесткого массива Алга-Саянской геосинклинальной области. В развитии геологической структуры территории листа установлено четыре этапа: архейский, протерозойский, нижнепалеозойский и кайнозойский. Основным структурным элементом является Тункинская антиклинальная зона. С северо-западающей для района байкальской складчатостью. В пределах синклиниория располагается своеобразная нижнепалеозойская структура — Саган-айская грабен-синклиналь, сложенная кайнозойскими молассами. Эта структура характеризует тектонический режим нижнего палеозоя как субгеосинклинальный. В кайнозое произошла крупная структурная перестройка района, обусловившая образование владин байкальского типа (рис. 1). Архейские структуры известны на большей части площади листа в пределах Тункинской антиклинальной зоны*. Являются жестким массивом, в послепархейское время эта зона была разбита на отдельные тектонические блоки, называемые С.-В. Сборуевых (1949) глыбами. Северное крыло зоны составляет Хонголийская и Шумакская глыбы. Наиболее крупная — Хамарлабинская глыба — составляет ее южное крыло. Центральным фрагментом является Ниловская глыба, обращенная кайнозойскими владинами. Тункинская антиклинальная зона имеет сложное внутренне строение. Несмотря на значительную переработанность, удалось выявить некоторые элементы ее первичной структуры. Архейские складки ориентированы в субширотном направлении и осложнены изоклинальными или асимметричными опрокинутыми складками более мелких порядков. Шарниры их часто изогнуты и волнисты.

* Эта структура включает в себя выходы архейских пород, протягивающиеся в широтном направлении от пос. Монды до южной оконечности оз. Байкал. На площасти листа расположена ее западная часть — Прибайкальский регион.

Нередко встречаются складки течения и плойчатость. Углы падения большей частью крутые ($50-80^\circ$).

Ядерная часть антиклинальной зоны представлена Занисанской антиклиналью, расположенной в юго-восточной части площасти листа в верховых рек Бол. и Мал. Занисан. Здесь обнажены наиболее древние в районе породы шарыжалгайской серии, имеющие северо-восточное падение. На северном крыле антиклинали, в нижних течениях рек Бол. и Мал. Занисан, обнажены породы слюдянской серии. Шарнир антиклинали погружается в западном направлении.

В юго-западной части площасти листа, в среднем течении р. Бол. Харгол, расположена Харголгайская синклиналь, ось которой имеет вид дуги, обращенной выпуклостью к югу. Ядро синклинали сложено гнейсами хангарулской толщи, на крыльях залегают породы слюдянской серии. К северу Харголгайская синклиналь переходит в Хоралбанскую антиклиналь, сложенную породами слюдянской серии. Ее ось ориентирована в субширотном направлении в долине р. Иркута.

Несколько синклинальных и антиклинальных структур установлено в Хонголгайской и Шумакской глыбах.

Протерозойские структуры в сравнении с архейскими являются менее сложными, но ввиду отсутствия маркирующих горизонтов, расшифровываются с трудом. Среди протерозойских отложений, образующих в складчатой структуре района самостоятельный структурный ярус, выделяются два подъяруса, между которыми устанавливается незаметное угловое и стратиграфическое несогласие. Нижне-среднепротерозойский подъярус (иркутская и ильчирская свиты) отличается от верхнепротерозойского (монголгайская свита) более крутыми складками. По-видимому, отложению осадков Монголгайской свиты предшествовали незначительные складкообразовательные движения. В целом структуры протерозойских эфузивно-осадочных глыб сформировалась в результате байкальской (позднедокембрийской) складчатости.

Основным элементом протерозойской структуры является Ильчирский синклинорий, впервые описанный В. Н. Лодочниковым (1941). На площасти листа расположено его южная часть, примыкающая к Тункинской антиклинальной зоне. Ядро синклинория сложено известняками монголгайской свиты. На крыльях залегает сланцево-карбонатный комплекс ильчирской и иркутской свит.

Протерозойские породы смяты в линейные, преимущественно симметричные, изоклинальные складки, нередко опрокинутые к северу. Вдоль южного крыла синклинория они параллельны контурам Хонголгайской и Шумакской глыб архея.

В бассейне р. Урга-Гол ось синклинория ориентирована в северо-восточном направлении. К востоку, по р. Китою ее простирание изменяется на широтное. По правобережью р. Китою, к востоку от устья р. Шара-Гол, проявляется довольно крупная антиклинальная складка второго порядка. Шарнирная линия имеет широтное простирание и полого погружается на восток. В бассейне р. Ара-Ошой протерозойские образования зажаты между Хонголгайской и Шумакской глыбами архея. Н. Н. Вильняков (1958) выделяет здесь несколько изоклинальных складок, опрокинутых к северу. Размер их крыльев достигает $2-2.5$ км, углы наклона осевых плоскостей колеблются от 30 до 50° . Шарнирные линии складок описаны для г. Арашской структуры Н. П. Бузиной и С. В. Оборудзе (1957) связывают с движением Хонголгайской и Шумакской глыб на север, при их одновременном или более позднем сближении.

Заступания внимания своеобразные блоки протерозойских пород среди архейских глыб. Довольно крупный блок, сложенный мраморами иркутской свиты, отмечен в бассейне р. Ара-Хонголгай. Мраморы смяты в синклинальную складку, осложненную по краям разломами. В южной части синклинали залегают базальные конгломераты. Значительно меньших размеров блоки мраморов иркутской свиты наблюдаются среди архейских образований в ист-

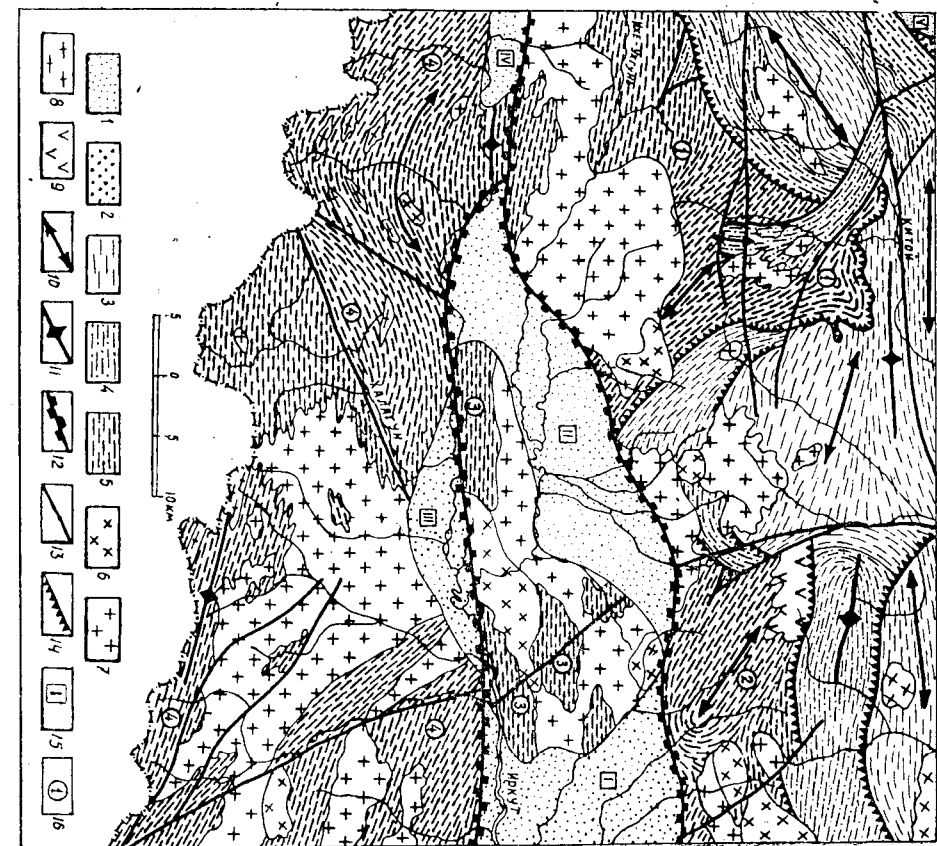


Рис. 1. Схема тектоники западной части хребта Хамар-Дабана и Тункинских гольбов

Кайнозой: 1 — четвертичные отложения во впадинах. Нижний палеозой: 2 — сандханская свита. Верхний протерозой: 3 — монголгайская свита. Архей: 4 — ильчирская и иркутская свиты. Нижний протерозой: 5 — хангалгайская толща, стодлинская и шарыжалгайская серии. Интрузии: 6 — верхнепротерозойские гранитоиды 3 фазы; 7 — верхнепротерозойские гранитоиды 1 и 2 фазы; 8 — архейские гранитоиды; 9 — архейские базиты. Оси складок: 10 — складки; 11 — антиклинальные разрывы; 12 — разрывные структуры; 13 — кайнозойские разрывы; 14 — палеозойские разрывы; 15 — позднепротерозойские разрывы; 16 — палеоген; 17 — циннеконголдайская свита; 18 — Ильчирская свита; 19 — Шумакская свита; 20 — Шумакская свита; 21 — Нийольская свита; 22 — Хамардабанская свита.

как р. Хого-Гол (левый приток р. Ихе-Ухуны), по правобережью рек Ихе-пер и Ара-Хонголой.

Палеозойские структуры известны в северо-западной части плюшади листа и представлены небольшим грабеном, сложенным конгломератами и песчаниками сагансайской толщи. Породы имеют северо-восточное простирание и моноклинальное падение на юго-восток. Углы падения 30–40°. К северо-востоку, за границей района, в бассейнах рек Саган-Сайр и Гарык-Гол слагающие грабен кембрийские отложения смыты в синклинальную складку, опрокинутую на север. В. П. Арсентьевым (1960) эта структура названа Сагансарским грабен-синклиналом.

Кайноэйские структуры выражены впадинами байкальского типа и сводовыми поднятиями Тункинских гольцов и хр. Хамар-Дабая. В центральной части плюшади листа частично или полностью расположены Тункинская, Хойтогольская, Туранская и Мондинская впадины, протягивающиеся в широтном направлении вдоль южного крыла Тункинского свода. Впадины разделены Ниловской и Хоралабанской среднегорными перемычками. Наиболее древняя — Тункинская впадина заложена в миоцене. В северо-западной части территории листа находится посттиоценовая Ильчирская впадина.

Изучению кайнозойских структур Восточного Саяна посвящено много работ. Среди них в первую очередь необходимо отметить исследования Н. А. Флоренсона (1948, 1954, 1956, 1960) и С. В. Обручева (1946, 1953).

По мнению Н. А. Флоренсона, впадины представляют асимметричные межгорные прогибы синклинального типа. Их внутреннюю структуру можно показать на примере Тункинской впадины, в пределах которой проведены гравиметрическая съемка и вертикальное электрическое зондирование (Флоренсон, 1952). Наиболее хорошо изучена восточная часть впадины. Мощность кайнозойских эфузивно-осадочных образований здесь достигает 2000 м; причем ось прогиба смешана к северному краю впадины. Поверхность фундамента полого погружается к центру впадины с юга и круто — с севера. В нижней части разреза породы смыты в простые мелкие линейные складки северо-восточного простирания. Кутузина их крыльев колеблется от 12–15 до 30–35°. Осевые плоскости складок часто наклонены к юго-востоку. Н. А. Флоренсов предполагает, что эти складки локализованы внутри отдельных полосовидных зон смятия, которые приуочены к главным синклинальным структурам, возникшим в процессе угтублования и расширения впадин.

Хойтогольская, Туранская и Мондинская впадины по структуре вероятно аналогичны Тункинской. В пределах этих впадин проявленной гравиметрической съемкой установлена наибольшая глубина залегания поверхности фундамента в их северных частях. Тункинская полоса впадин находится в сейсмически высокактивной зоне. Землетрясения регистрировались здесь, начиная с 1814 г. В 1950 г. произошло сильное (9 баллов) Мондинское землетрясение, в результате которого в окрестностях пос. Монды на террасах образовались трещины до 500 м длины. Сложность геологической структуры района обусловлена также широким проявлением разрывной тектоники. По возрасту разрывные нарушения можно разделить на три группы: докембрийские, палеозойские и кайнозойские.

Докембрейские разрывные нарушения представляются меккоформационными надвигами и сбросами, затянутыми, большей частью, параллельно складчатым структурам. В верховых рек Дара-Ошай и Бого-Хонголой линии надвигов секутся гранитоидами верхнего комплекса, протягивающимися с юга на север. Наиболее интересным из них является надвиг, простеженный вдоль северной и восточной границы Хонголойской глыбы, где архейские гнейсы на дивните на карбонатные породы Монголинской и иргутной свит. На северной глыбе плоскость надвига имеет купное падение (30–50°) к югу. В северо-восточном углу глыбы линия надвига резко меняет свое направление

с широтного на меридиональное, которое выдерживается на протяжении около 10 км. Угол падения плоскости надвига составляет здесь 10–20°. Восточнее линии надвига на волоразделах, сложенных известняками иркутской и монголинской свит наблюдаются тектонические остатки архейских гнейсов. Один из таких останцев удален от линии надвига на 6 км, что указывает на значительную горизонтальную амплитуду покрова. В истоках р. Ара-Ошай линия надвига изгибаются к юго-востоку, углы падения его глиоскости здесь более круты (40–60°).

Аналогичные надвиги отмечены в бассейнах рек Ара-Хонголой, Ара-

Ошай, Шумак. К этой возрастной группе относены также субмеридиональные разломы в Хонголойской глыбе, среди которых зажата крупная чешуйчатая архейская и претергнейзовская свита. Породы в зонах локембрейских разрывных нарушений мионитизированы, окварциованы и пиритизированы.

Палеозойские разрывные нарушения независимы от складчатых структур и распространены во всех докайнозойских комплексах пород. Представлены они в основном сбросами, пересекающими под различными углами архейские и претергнейзовские структуры и разделяющими их на пачки. Выполнены кварцитами жильями и лайками дайков (например, Ихе-Ухулгунский) и сланцами, которые неподалеку окварциованы и сульфилизированы, а иногда всплыли архейские и претергнейзовские породы в верхнепретергнейзовских гранитоидах они выражены зеркалами скольжения, катаклазом и мионитизацией. Карбонатные породы брекчированы. Сбросы сопровождаются серой оперывающих зон расщеплениями, которые неподалеку окварциованы, а иногда выполнены кварцитами жильями и лайками дайков. Амплитуда вертикального смещения наибольшее крупных сбросов (например, Ихе-Ухулгунский) достигает 500–700 м. В северо-западной части территории листа круто падающей к юго-востоку разрывными нарушениями образован нижнепалеозойский грабен.

Кайноэйские разрывные нарушения насторожают древние глубинные разломы широтного простирания. Эти разломы, по видимому, являются подводящими каналами для излияний базальтовых лав. Их активизация связана с развитием кайнозойских впадин. На гольцах листа установлены два крупных кайнозойских разлома. Один из них, известный в literature (Флоренсов, 1960) под названием Тункинского сброса, протягивается вдоль пологий южного склона Тункинских белков. Второй разлом протягивается вдоль северных отрогов хр. Хамар-Дабая. В восточной части к нему приурочена долина р. Иркута. В Туринском хребте разлом выражен в брекчировании и обогащенности мраморов слюдянской серии. На западе, в Харалабанском овраге, оба разлома сочленяются.

Тункинский сброс выражен мощной зоной дробления и мионитизации пород и выражен в рельфе. В зоне сброса отмечаются крутые перегибы продольных профилей долин, водопады. Мощность зоны мионитизации достигает здесь 300–400 м. При бурении в Тункинской впадине, по данным Н. А. Флоренсова, по линии Тункинского сброса были вскрыты почти не спланированные известковые брекчии. Это указывает на молодость активаизации сброса. Повышенная сейсмичность в Тункинской полосе впадин свидетельствует о том, что Тункинский сброс активен по настоящему время. Поверхность сброса наклонена к югу под углом 50–60°. Его вертикальная амплитуда, судя по относительным превышениям вершин гольцов над ложеменем, превышает 2000 м, но Н. А. Флоренсов указывает, что при определении амплитуды сброса необходимо вводить поправку на пластические изгибы по краям впадин. С учетом таких поправок амплитуда сброса будет значительно уменьшена.

Геоморфология

На территории листа распространены следующие типы рельефа: 1) денудационно-тектонический, 2) структурно-денудационный, 3) аккумулятивный комплекс межгорных тектонических впадин и речных долин. Денудационно-тектонический комплекс в зависимости от особенностей сочетания форм рельефа и их морфометрического и морфогра-

физического строения обединяет в себе высокогорный рельеф с альпинотипными формами, выскокогорный рельеф с мягкими сношеными формами и среднегорный слаборасчлененный рельеф. Эти типы рельефа, характеризующиеся общностью генетических признаков, сформировались в результате интенсивных восходящих тектонических движений, сопровождающихся эрозионно-денудационными процессами.

Высокогорный рельеф с альпинотипными формами характеризуется их многообразием и резкими очертаниями, большими абсолютными высотами и глубоким эрозионным врезом. Этот тип рельефа представлен в Тункинских горах и в хр. Монго. Абсолютные высоты здесь колеблются от 2000 до 3300 м, при относительных превышениях от 500 до 1500 м. Для этого типа рельефа характерны узкие скалистые пикообразные гребни. Долины имеют прогрессивный профиль. В их верховых наблюдаются цирки, кары, ригели, бараньи лбы и другие ледниковые формы. В низовьях в днища трогов врезаны глубокие ущелья.

Высокогорный рельеф с мягкими сношеными формами распространен в хр. Хамар-Дабан и в северо-западной части площасти листа — в бассейнах рек Китой, Шара-Гол и Урга-Гол. Для него характерно наличие коротких упиленных хребтов и пирамидообразных сопок с абсолютными отметками от 1900 до 3000 м. Склоны их сравнительно пологие. Глубина эрозионного рвза редко достигает 900 м. Следы ледниковой деятельности выражены слабо. Часто встречаются плоские столовые возвышенности, представляющие собой древние поверхности выравнивания, и нагорные террасы.

Среднегорный слаборасчлененный рельеф, развит в центральной части территории листа и включает Ниловский отрог, Туранский хребет и северные отроги хр. Хамар-Дабана, здесь характерны невысокие, часто увалистые водоразделы с плоскими, куполообразными вершинами. Их абсолютные отметки составляют 1000—1900 м при глубине эрозионного вреза от 200 до 600 м. На водораздельных пространствах иногда наблюдаются остатки плато, нагорные террасы и каменные моря.

Структурно-денудационный рельеф представлен реликтами вулканического плато, распространенного в хр. Хамар-Дабан, в Туранском хребте и Ниловском отроге. Этот рельеф сформировался в результате расщепления денудационными процессами базального плато. Его абсолютные отметки колеблются от 1000—1350 м в Туранском хребте и Ниловском отроге до 2400 м на плоских водоразделах хр. Хамар-Дабан. Глубина эрозионного вреза колеблется от 200 до 800 м. Плоские водораздельные поверхности в общем наклонены к северу, в сторону впадин, что обусловило разницу абсолютных отметок базальтовых покровов.

Аккумулативный комплекс ме же горных тектонических впадин и речных долин включает преогорный холмистый проливиально-делювиальный равнину, холмисто-озерный рельеф, а также поймы и террасы.

Предгорный холмистый проливиально-делювиальный рельеф распространен в виде полосы шириной 2—4 км, вдоль подложки Тункинских горлов и под углом 6—8° наклонен в сторону впадин. Он образован широкими мощными конусами выноса, абсолютные высоты которых составляют 1100—1500 м.

Слабонаклонная озерно-болотная и водно-ледниковая равнина протягивается широкой (до 10 км) полосой вдоль подложки Тункинских горлов и хр. Хамар-Дабан. Она полого наклонена к центральным частям впадин, постепенно переходя в плоскую заболоченную равнину, изобилующую озёрами. Для нее характерны широкие и невысокие водно-ледниковые вали и холмы. Абсолютные отметки равнин 800—1200 м.

Холмисто-озерный моренный рельеф образовался в Хойтогольской, Ильчирской и Монголинской впадинах в результате аккумулятивной деятельности ледника. Он представлен грядово-холмистыми озерными равнинами, абсолютные отметки которых колеблются от 1000 до 2100 м. Относительные высоты моренных холмов достигают 100 м.

Поймы и террасы распространены преимущественно в долинах крупных рек — Иркута, Ихэ-Ухуна, Китоя, Шумака, Ара-Ошец, Ара-Хубыты. Высота террас различна — от 2—8 до 12—25 м. Выделяются аккумулятивные и склоновые террасы.

История рельефа площасти листа в общих чертах предстает в следующем образом. Исходным рельефом явился древний додавалтовый миоценовый пеллен, реликты которого сохранились в виде небольших площадок на высоких водоразделах в хр. Хамар-Дабан. Дальнейшая эволюция рельефа тесно связана с развитием сводовых поднятий и прогибов. В миоцене возникли глубокие раскаты земной коры, по которым проходили неоднократные излияния базальтовых лав. В результате дифференцированных движений базальтовые покровы были выведены на различные гипсометрические уровни и пропитаны речными долинами. Дальнейшее поднятие сводов явилось одной из причин, обусловивших неоднократное опледенение района. Большшинством исследователей принимается гипотеза о двух опледенениях Восточного Саяна. Первое опледенение было покровного типа. Следы деятельности ледниковых покровов к настоящему времени почти полностью уничтожены, лишь на некоторых водоразделах сохранились редкие эрозионные валуны. Опледенение долинного типа проявилось в районе более отчетливо. Скульптурные и аккумулятивные формы, образованные ледниками, отличаются свежестью и большим разнообразием. Ледниковый материал сносится во впадины. В настоящее время развитие сводов и впадин и связанное с ним омоложение рельефа продолжается.

Полезные ископаемые

На территории листа выявлены проявления черных, цветных, благородных и редких металлов, а также месторождения апатита, сподиума и строительных материалов. С давних пор известны источники минеральных вод, обладающие целебными свойствами.

В плосадении распространении определенных комплексов полезных ископаемых выделяются некоторая закономерность. Так, проявления благородных и цветных металлов распространены только на северном склоне Тункинских горлов, в бассейне р. Китой, проявления редких металлов выявлены преимущественно на южном склоне Тункинских горлов и в хр. Хамар-Дабан. Неслучайно полезные ископаемые (платин, слюда, строительные материалы) известны в южной части территории листа — по долине р. Иркута и в хр. Хамар-Дабан.

Наиболее практическое значение на площасти листа могут иметь золото, строительные материалы и минеральные источники.

Черные металлы

Гематитовые руды

Ара-Хонголо-Джохское проявление гематита (5) расположено на водоразделе рек Тажонгол и Ара-Хонголой. Представлено оно обильной вкрапленностью гематита в стеклах ильчирской свиты. Рудное тело, мощностью 20—30 м, прослежено по простиранию на несколько сотен метров. Химическим анализом в штуфной пробе установлено 36,99% железа, 25,74% SiO_2 , 0,43% марганца, 0,02% фосфора, 0,09% серы и следы TiO_2 . Вкрапленные тематитовые руды в трунноступной местности не могут иметь практического значения.

Титан

Титансодержание минералы — ильменит и рутил — отмечены почти во всех шиховых пробах в пределах распространения архейских комплексов и изверженных пород. Среди протерозойских отложений они встречаются значительно реже.

Ильменит в полавлющем большинстве проб находится в весовых солдражаниях, достигающих 1200 г/м³.

Рутил в весовых солдражаниях (до 200 г/м³) встречается по рекам Туран, Алган, Мал. Занисан, Хахор-Гол. Кроме того по р. Хахор-Гол рутил обнаружен в виде крупных кристаллов в гальках и валунах кварца. Источник сноса не обнаружен.

В металлометрических пробах титан встречается повсеместно в количестве от 0,3% до 1%, в некоторых пробах выше 1%.

Несмотря на широкое распространение титана в шлиховых и металлометрических пробах, промышленных месторождений его на площасти листа ожидать не приходится.

Цветные металлы

Медь

Появления меди на водоразделе рек Шара-Гол и Кирты (1,3) приурочены к кварцевым жилам, залегающим в хлоритово-кварцевых сланцах ильчирской свиты. Мощность жил 9—10 м. По простиранию жилы прослеживаются на 200—300 м. Кварц содержит обильную вкрапленность пирита, халькопирита и пачеки малахита. Изредка встречается колеян.

Химический анализ штуфной пробы показал содержание меди 0,52%. Проявление меди по р. Ара-Хубы (22) представлено серией кварцевых прожилков, содержащих сульфиды. Вмещающими породами являются брекчированные известняки монголинской свиты. Мощность прожилков 2—5 см. Спектральный анализ штуфной пробы установлено более 1% меди, 0,003% висмута и следы серебра.

Проявление меди и по правобережью р. Шумак (46) приурочено к контакту известняков монголинской свиты с гранитами. Здесь встречаются серия тонких (до 1 см) обогащенных кальцитовых прожилков, содержащих, по данным спектрального анализа, 0,3% меди и 0,3—1% стронция.

По р. Жолгешлиховым опробованым восьми пробам выявлен небольшой ореол рассеяния малахита (14), единичные знаки которого присутствуют в шести пробах. Кроме того, редкие знаки малахита отмечены в нескольких пробах по р. Яман-Гол.

Свинец

Полиметаллические

Появление по правобережью р. Шара-Гол (4) представлено элювиальными глыбами кварца до 30—40 см в попперчище, содержащими обильные настеки малахита и ковеллина. Прибранный анализ показал содержание золота и серебра. Химическим анализом установлено: медь 0,66%, никель 0,06%, олово 0,04%, мышьяк (до 1%), висмут (0,03%) и сурьма (0,1%).

Проявление упраяного борта долины р. Ара-Хубы (26) выражено редкой неравномерной сульфидной вкрапленностью в сплошисто-устойчивых сланцах монголинской свиты. Мощность сульфидной зоны 25 м. По простирации она прослежена на 700 м. Сульфиды представлены в основном пиритом, реже встречаются пирит и халькопирит. Местами встречаются сплошные скопления сульфидов в виде линз мощностью около 0,5 м. На проявлениях взято 25 бороздовых проб. В восьми из них прибранным ана-

лизом обнаружено от 2,4 до 10 г/т серебра. В остальных пробах отмечены следы серебра. Спектральным анализом скопков штуфных и бороздовых проб установлен цинк 0,01—0,03%.

Проявление в веховых р. Зун-Гол (29, 30, 33, 34) представлены одиночными кварцевыми жилами, залегающими в кварцево-хлоритовых и серпентитово-карбонатных сланцах ильчирской свиты. Мощность жил от 20—30 см до 1 м. По простиранию они простягиваются на несколько десятков метров. Кварц содержит вкрапленность халькопирита, борнита, халькоцина, ковеллина, малахита, лимонита. Спектральный анализ штуфных проб показал от 1 до 5% меди, от 0,01 до 0,03% свинца, цинка и никеля. Пробным анализом установлено от следов до 90 г/т серебра и следы золота.

Два опробования меди, свинца и цинка выявлены металлометрическим опробованием в бассейнах рек Зун-Гол (25) и Шумак (44). Среднее содержание этих элементов в пробах составляет 0,01—0,03%.

Ореол рассеяния арсенопирита (6) оконтурен шлиховым опробованием (Вильяков, 1958) в бассейнах рек Бого-Хонголой и Аравхонголой. Арсенопирит встречен в 41 пробе в редких знаках.

Описанные проявления цветных металлов имеют незначительные размеры, низкие содержания полезных компонентов и находятся в высокогорной, исключительно труднодоступной, местности, поэтому они представляют лишь минералогический интерес.

Благородные металлы

Благородные металлы являются важнейшим и наиболее перспективным видом полезных ископаемых района. Расположены они в северной части терригенных листов, и приурочены к зонам рассланцевания в крупных разломах. Низкие содержания цветных металлов имеют незначительные размеры, большинством геологов связываются с палеозойскими гранитами.

Рудное золото

Проявление по правобережью р. Саган-Сайр (7) выявлено в 1957 г. Б. В. Шереметем. Среди элювия известняков монголинской свиты здесь обнаружены глыбы кварца с вкрапленностью пирита. Величина глыб достигает 0,4×0,5 м. Содержание золота 0,6 г/т, серебра 5,8 г/т. Практического интереса проявление не представляет.

Проявление Ранне (9) находится у правого борта долины р. Китой, в 1200 м выше устья р. Саган-Сайр. Н. Н. Вильяковым (1958) здесь отмечены четыре кварцевые жилы. Мощность жил в среднем составляет 1—1,5 м, в раздувах достигает 3 м; по простиранию они прослежены на 50—150 м. В жилах и во вмещающих породах наблюдается узкая вкрапленность пирита. Из отобранных 29 бороздовых проб только в пяти пробах установлены весовые содержания золота (от 0,5 до 28 г/т) и серебра (от следов до 3,3 г/т). Проявление лата отрицательная ценность.

Проявление Скалистое (11) и Восточное (15) обнаружены в 1957 г. Н. Н. Вильяковым на правом склоне долины р. Китой. Приурочены они к зонам окварцевания и сульфидизации известняков монголинской свиты. Мощность зоны не более 5—6 м. Кварц в виде инъекций и прожилков содержит вкрапленность пирита, халькопирита и блеклых руд. Прибранным анализом бороздовых и штуфных проб в некоторых из них установлено от 0,2 до 2,4 г/т золота и от следов до 7,6 г/т серебра. Проявления бесперспективны. Конголдойское проявление (13) находится в долине р. Богохонголой в 6,5 км от устья. Выявлено в 1957 г. Н. Н. Вильяковым. Проявление представлено сульфидизированной кварцевой жилой, секущей гнейсы хангарульской толщи. Жила обнажена по обеим берегам русла реки. Мощность жилы достигает 3 м. Кварц содержит обильную вкрапленность пирита и окрашен окислами железа в буроватый цвет. Жила и вмещающие породы

опробованы одиннадцатью бороздовыми пробами, из которых семь взято по кварцу. Одна пробы, взятая в центральной части жилы, показала содержание золота $64,4 \text{ г/т}$ и серебра $86,8 \text{ г/т}$. В четырех пробах содержание золота изменяется от $0,2$ до $2,4 \text{ г/т}$ и серебра — от следов до 1 г/т . Во вмешающих породах, на контакте с жилой в одной из четырех проб установлено $0,8 \text{ г/т}$ золота.

Значительное содержание золота в центральной части жилы позволило Н. Н. Вишнякову считать это проявление перспективным и рекомендовать на нем постановку детальных поисковых работ.

Яман-Гол. Здесь Ю. В. Шемякиным (1958) в известняках монгошиинской свиты отмечена маломощная линза интенсивно сульфидизированных фильтровидных сланцев. Линза прослежена по простиранью на 30 м . Тройным анализом штуговой пробы установлено содержание золота $18,2 \text{ г/т}$ и серебра $12,8 \text{ г/т}$. Для оценки проявления необходимо провести ревизионные работы.

Проявление в левом притоке р. Яман-Гол (28) выявлено в 1957 г. Ю. В. Шемякиным.

Среди деловиальных свалов серпентитово-карбонатных сланцев им обнаружены глыбы кварца около $0,5 \text{ м}$ в попечнике. В кварце наблюдается вкрапленность пирита и халькопирита. Содержание золота $1,2 \text{ г/т}$, серебра $1,4 \text{ г/т}$. Проявление бесперспективно.

Проявление в бассейнах рек Зун-Гол и Шумак (27, 31, 32, 35) представлены кварцевыми жилами, залегающими в сланцах ильчирской свиты (27, 32, 35) и в измененных породах основного состава еловского комплекса (31). Мощность жилья $0,3$ — $0,5 \text{ м}$. Кварц содержит вкрапленности пирита, халькопирита, борнита, халькоизита и ковеллина. Содержание золота по данным пробирного анализа единичных штуговых проб — от $0,7$ до $3,3 \text{ г/т}$ и серебра — от $15,6$ до $68,0 \text{ г/т}$. Спектральный анализ почти во всех пробах показал от 3 до 5% меди и $0,003\%$ свинца. Для оценки проявления необходимо ревизионные работы.

Нарин-Гол. Здесь, близ тектонического контакта монгошиинской и ильчирской свит, Ю. В. Шемякиным (1958) встречена маломощная зона сульфидизированных сланцев. Сульфины представлены пиритом, халькопиритом и блеклыми рудами. Содержание золота $0,8 \text{ г/т}$, серебра $2,2 \text{ г/т}$. Проявление бесперспективно.

Россыпное золото

Усть-Сагансайское проявление (10) найдено в 1958 г. Н. Н. Вишняковым в расщепленной части долины р. Китой, близ устья р. Саган-Сайр. На протяжении 2 — $2,5 \text{ км}$ ширина долины Китоя достигает 500 — 600 м . Н. Н. Вишняковым здесь были проведены поисково-шурфовые работы, в результате которых достаточно детально был определен верхний разрез рыхлых отложений. Опробование показало, что максимальное количество золота сосредоточено в отложениях первой надпойменной террасы. Его содержание колеблется от редких знаков до 1008 мг/м^3 . Пустые пробы встречаются редко. Максимальное содержание золота получено по шурфу, приподнятым к участку долины.

В древних доледниковых аллювиальных отложениях содержание золота иногда составляет 67 мг/м^3 , но чаще встречается в редких знаках или отсутствует. В ледниковых отложениях золото присутствует в незначительных количествах (до 25 мг/м^3).

В алювиальных отложениях долины р. Саган-Сайр золото встречается в редких знаках. Максимальное содержание здесь достигает 24 мг/м^3 .

Зерна золота на Усть-Сагансайском проявлении окатаны, размер их колеблется от $0,1$ до $0,5 \text{ мм}$, спектр золота не обнаружен. Это свидетельствует о дальнем переносе золота. Источником сноса являются, по видимому, золоторудные месторождения в истоках р. Китоя (Пионерское, Гранитное и др.).

В 1958 г. А. И. Верхозиным и другими (1959) на Усть-Сагансайском

проявлении проведены ревизионные работы. В расширенном участке долины были пройдены две линии шурfov, из которых взято 300 шлиховых проб.

Ни один из заданных шурfov плитка не достиг. В большинстве проб присутствует золото в зонах и редких зонах.

Для окончательной оценки Усть-Сагансайского проявления необходимо провести дополнительные поисковые работы.

Проявление Гореле (12) расположено в долине р. Китоя, в устье р. Жолги. Выявлено в 1959 г. Л. И. Старчаком. Золотоносные рыхлые отложения прослежены вдоль долины на протяжении 10 км . На площади 2 км^2 расположены участок протяженностью около 2 км . Ширина долины р. Китоя в том месте варьирует от 150 до 500 м . Л. И. Старчаком проведены поисково-шурфовые работы. Опробование показало, что максимальное содержание золота сосредоточено в пойме. Из 29 русловых проб в 13 пробах обнаружены знаковые и в 11 пробах весовые содержания золота (от $0,03$ до $0,7 \text{ г/м}^3$). В первой надпойменной террасе золото установлено в зонах содержания.

Проявление изучено недостаточно, так как ни один шурф не добит до плотика, где можно ожидать более высокие концентрации золота. Крупный ореол рассеяния золота (2) оконтурен шлиховым опробованием по реке Китоя и ее притокам Арлык-Голу, Бого-Хонголю и Жолге (золото отмечено в 88 пробах). Наиболее концентрированы золота (6—13 знаков) встречены в верхнем течении р. Китоя, выше устья р. Арын-Хонголю. Источником сноса его являются золоторудные месторождения по р. Самарте. В остальных пробах золото обнаружено в редких знаках (от 1 до 4).

Кроме того, золото отмечено в редких знаках по р. Шумак (в двух пробах), по р. Бол. Занисан (в трех пробах) и в однотипной пробе по р. Турган. Проявление изучено недостаточно, так как ни один шурф не добит до плотика, где можно ожидать более высокие концентрации золота.

Шеелит в редких знаках и знаках присутствует в шлиховых пробах почти повсеместно. Источником сноса его являются скарны и пемматитовые жилья.

Редкие металлы

Больфрамит отмечен в редких знаках в четырех шлиховых пробах по р. Хубьты. Источник сноса не обнаружен.

Шеелит в редких знаках и знаках присутствует в шлиховых пробах почти повсеместно. Источником сноса его являются скарны и пемматитовые жилья.

Молибден

Ара-Ошеское проявление (21) находится в верхнем течении р. Ара-Ошай. Выявлено в 1957 г. Н. Н. Вишняковым. Проявление приурочено к небольшому массиву биотитовых гранитов, залегающему в известняках монгошиинской свиты. Размер массива $1,2 \times 0,8 \text{ км}$. В гранитах наблюдаются зоны грейзенизации, пронизанные сетью кварцевых прожилков, несущих молибденитовое оруденение. Мощность прожилков достигает 1 — 2 см , реже 3 — 4 см . Между зонами вилами минерализации отсутствуют грейзенизированные граниты в зонах интенсивно притягиванные и содержащие молибден от следов бороздовых проб.

Химический анализ пяти проб показал содержание молибдена от следов до $0,02\%$. В остальных пробах молибден не обнаружен. Спектральным анализом в грейзенизированных гранитах установлены: молибден ($0,003\%$), олово ($0,001\%$), никель ($0,01\%$), титан ($0,1\%$) и медь ($0,1\%$). Удаленность и труднодоступность проявления, а также низкое содержание молибдена не позволяют считать это проявление перспективным.

Хулусапатинское проявление (51), расположено в верховых р. Хулусапата, в 6 км от устья. Обнаружено оно в 1936 г. Н. Ф. Лопиновым, детально изучено в 1955 г. В. П. Арендтевым. Молибден в виде редкой вкрапленности приурочен к пематитовым жилам и прожилкам монцитом от 2–3 до 10–15 см, простирающимся по простиранию на первые метры. Содержание молибдена по данным химического анализа не превышает 0,01%. Виду малых размеров проявление дана оценкальная оценка. Проведенные нами (Самбург, 1960) детальные поисковые работы в окрестностях проявления тоже положительных результатов не дали. Незначительное содержание молибдена было отмечено только в единичных глыбах пегматитов.

Дундугольское проявление (64) находится в верховьях легого притока р. Дунду-Гол (приток р. Мал. Зангисан) в 2,5 км от устья. Здесь, вдоль разлома в гнейсах шарыкалгайской серии, образующих довольно крупный ксенолит среди серых биотитовых гранитов, выявлены штокверковая зона кварцевых прожилков. Мощность зоны около 60 м. По простиранию она прослежена на 700 м и через перерыв в обнажениях еще на 200 м.

Спектральным анализом 300 бороздовых проб почти в каждой из них обнаружены молибден (0,001–0,003%), и медь (0,003–0,01%), в четырех штуфных пробах установлены цинк (0,003–0,01%). Химический анализ штуфных проб показал содержание мели от 0,01% до 0,17% и молибдена от 0,002% до 0,005%. Как видно из результатов анализов, проявление относится к медно-молибденовому типу.

В пределах штокверковой зоны проведено металлометрическое опробование по сечке 15×50 м. По данным спектрального анализа в большинстве проб присутствует молибден от стеклов до 0,003%.

Здесь же по ручью во всех штиховых пробах отмечены знаки молибденита в сростках с кварцем (63).

Для окончательной оценки Дундугольского проявления необходимо провести дополнительные работы. В пределах штокверковой зоны могут быть обнаружены участки с более богатым содержанием молибдена и меди.

Два ореола рассеяния молибденита выявлены штиховым опробованием в верхнем течении р. Ара-Ошай (17) и в бассейне р. Шумак (42). Молибден в штиховых пробах присутствует в редких знаках.

Металлometрическим опробованием выявлено восемь ореолов рассеяния молибдена — в бассейнах рек Шумак (39,41), Ильтышкин (47,57), Хулусапата (49), Хургуты (53), Мал. Хонголой (55), Мал. Зангисан (61). Содержание молибдена в среднем составляет 0,001–0,003%.

Бериллий

Четыре ореола рассеяния бериллия выявлено металлометрическим опробованием в бассейнах рек Хубыты (36), Шумак (41), Хургуты (53) и в верховьях р. Мал. Зангисан (62). Содержание бериллия не превышает 0,01–0,03%. Ореолы рассеяния бериллия пространственно связаны с массивами гранитоидов второй и третьей фаз саянского комплекса.

Литий

В верхнем течении р. Ара-Ошай и на востораделе Ара-Ошай и Ара-Хубыты среди известняков монголитской и иркутской свит встречается множество мелких тел гранитов второй фазы саянского комплекса. Известняки близ контактов с гранитами скварнированы. В скважинах наблюдаются термомагнит, тальк, мусковит, липитовая сплюшка. Отправляем скважин установлена четыре проявления линия (18, 19, 20, 23). Содержание липита в них составляет 0,03%, а в одной пробе (20) — 0,1%. Практического интереса эти проявления не представляют.

Тантал и ниобий

Шумакское проявление (46) расположено по правобережью р. Шумак в зоне разлома северо-восточного простирания. Здесь наблюдаются простирающиеся известняки углистые, станичные и алевролиты монголитской свиты. Пророды пиритизированы и пронизаны густой сетью тонких (до 2 мм) кварцевых и кальцитовых прожилков. Мощность зоны пиритизации 65 м. По простиранию она прослежена на 400 м. По зоне взято 28 бороздовых проб.

Спектральным анализом установлены: лантан 0,01–0,03%, иттрий 0,01%, скандий 0,003%, лантан 0,03–0,3%, молибден 0,003–0,01%, цинк 0,01–0,01%, ванадий 0,01–0,1%. Пробы, содержащие редкие земли и липит, взяты преимущественно из средней части зоны. Шумакское проявление заслуживает дальнейшего изучения.

Хубытское проявление (37) обнаружено по р. Хубыты и простирается к прородам интенсивно сульфидизированных углисто-карбонатных сланцев среди известняков иркутской свиты. Мощность пророды около 60 м. По простиранию он прослежен на 150–200 м. Сульфидизированные породы имеют повышенную радиоактивность 30–40 мкР/час. Среди них выделяются две зоны мощностью по 3–4 м., радиоактивность которых составляет 50–70 мкР/час. В двух штуфовых пробах спектральным анализом установлены иттрий и лантан 0,003–0,01%. Проявление беспределенно.

В металлометрических пробах довольно часто встречаются лантан и иттрий. В бассейне р. Бол. Зангисан выделяется ореол рассеяния (66) лантана.

В штиховых пробах по рекам Ара-Ошай, Хубыты, Ихэгер, Кхэр, Ихэ-Ухуты, Бурукугуй, Туран, Мал. Зангисан, Бол. Тайтарка, Хакор-Гол. Иногда содержание циркона в рыхлых отложениях достигает 5 г/м³. Эти минералы как аксессорные примеси присутствуют в гранитоидах саянского комплекса.

Неметаллические ископаемые

Исландский шпат

Сагансайское проявление (8) находится в приустьевой части р. Саган-Сайр. Выявлено в 1938 г. М. Ф. Шестосталовым. Позднее изучалось Б. В. Шерниным (1958). Проявление приурочено к карстовым пустотам в известняках монголитской свиты. Пустоты округлой формы, диаметром от 1–2 до 10 м, заполнены кристаллами кальцита, достигающими в перечнике 5–10 см. Кристаллы имеют мутно-белый цвет, слабо просвечиваются в краевых частях. Величина слабо просвечивающей оторочки не превышает 3–4 мм. Кондиллонные кристаллы при их обогащении не получено. Проявление практического значения не имеет.

Флюорит

Флюорит встречен по р. Шумак в редких зонах в пяти шлифовых про-
бах. Источники сноса не обнаружены.

Барит

Барит отмечен шлифовым опробованием в зонах и редких зонах по рекам, Шара-Гол, Урта-Гол и Хого-Гол. Источники сноса не обнаружены.

Апатит

На площади листа известно Обрубское месторождение апатита (58), открытые в 1950 г. А. Ф. Камыковым. В 1954—1955 гг. оно изучалось В. Н. Давом (1956), а в 1955—1956 гг. разведывалось Слюдянской экспедицией Иркутского геологического управления (Сушкевич, 1957). Месторождение расположено близ с. Мойготы на обоих берегах Иркута. Апатит приурочен к диопсидовым кварцитам, кварцево-диопсидовым породам и кальциевым слюдянской серии архея, которые по данным Б. И. Сушкинца образуют в районе месторождения синклинальную складку. Ее ось имеет широкое простирание и круто погружается в восточном направлении. Южное крыло складки находится на правом берегу Иркута, северное — на левом.

По правобережью в кварцево-диопсидовых и кварцево-карабонатно-диопсидовых породах выявлено восемь апатитоносных зон, среди которых выделено четыре рудных зоны с содержанием $P_{2}O_5$ не менее 4,5%. Мощность рудных зон не превышает 12 м. По простиранию они протянуты на 50—80 м. Попечитанные запасы руды составляют 20 тыс. т при среднем содержании $P_{2}O_5$ 5,85%. В левобережной части месторождения выявлено три апатитоносных породы, мощностью от 20 до 120 м. Содержание $P_{2}O_5$ в них не превышает 2,7%. Низкое содержание двукиси фосфора и незначительные размеры рудных тел не позволяют отнести Обрубское месторождение к различным промышленным.

Большинство исследователей связывает образование апатита с региональным метаморфизмом осадочных фосфатизированных карбонатно-кремнистых пород.

Детальными поисками рабочими, проведеннымы Слюдянской экспедицией в окрестностях Обрубского месторождения, апатитоносных пород не выявлено.

Слюдя

Южная часть площади листа находится в пределах зоны слюдянской гранитных полей, протягивающихся в виде широкой полосы от хр. Мунку-Сардык до оз. Байкала.

Неоднократные поиски слюдянских месторождений, проводившиеся Г. Е. Луженком (1931—1933), П. И. Налетовым (1930—1932), П. Д. Пере- летовым (1940) и другими, положительных результатов не дали. Обнаруженные нами (Самбург и др., 1960) слюдоносные пегматитовые жили, также не имеют промышленного значения. Мощность жил составляет 30—40 см, изредка достигает 15 м. По простиранию они протягиваются на несколько десятков метров. Пластичны мусковита сильно трещиноваты. Величина их не более 20 см.

К амфиболовым гнейсам слюдянской серии архея нередко приурочены крупные (до 50 км²) таблички флогопита. Мощности флогопитодержащих пород составляет несколько метров. По простиранию они протягиваются на несколько десятков метров. Таблички флогопита трещиноваты. Несмотря на то, что поиски слюды пока не дали положительных результатов, площасть листаелье считать бесперспективной. Здесь могут быть обнаружены промышленные месторождения мусковита и флогопита, но при поисках необходимо применять геофизические методы.

Строительные и огнеупорные материалы

Лавы

Базальтовые лавы, широко распространенные на площади листа, могут найти применение в камнелитейной промышленности. Опытные плавки Тункинских базальтовых лав, проведенные в Восточно-Сибирском филиале АН СССР (Белов, 1957), позволили установить их сходство с плавленными базальтами, полученными на Московском камнелитейном заводе. Сравнивая химический и минеральный составы базальтовых лав Тункинской владины с диабазами и базальтами, применяемыми в качестве сырья камнелитейным заводом, И. В. Белов пришел к заключению, что описываемые базальтовые лавы пригодны для камнелитейной промышленности и удовлетворяют ее техническим требованиям. Кроме того, «базальтовые лавы Тункинской владины несколько отличаются свойствами более низкими температурами плавления на 100—150°, это положительно скажется на расходе электроэнергии и, следова-тельно, на стоимости тонны плавленного материала» (Белов, 1957).

Туфы

Базальтовые туфы по р. Хулугайша (48) пригодны для производства бескинкерных, малоклинкерных и высокомарочных цементов. Кроме того, они могут быть использованы как гидравлические добавки при производстве портланд-цементов. Исследование туфов в химлаборатории треста «Сибгеол-неруд» показало их высокую активность, удовлетворяющую требованиям производственности для гидравлических добавок в различные цементы и для производства цементов на основе базальтовых лав. Средний химический состав и средняя активность туфов по пяти пробам (Белов, 1957): SiO_2 46,83%, Al_2O_3 16,15%, Fe_2O_3+FeO 11,29%, CaO 6,74%, MgO 7,28%, П. П. П. 9,42%; активность 121,7. По данным треста «Сибгеолнеруд», запасы туфов вулкана Хулугайша составляют около 2 млн. т, что соответствует среднему месторождению. Горнотехнические условия эксплуатации туфов благоприятны.

Известняки, доломиты

Карбонатные породы пользуются широким распространением на территории листа. Ими сложены иркутская и монголинская свиты, в виде мощных пачек и линз они встречаются в слюдянской серии архея.

В 1953 г. изучением карбонатных пород монголинской свиты в бассейнах рек Яман-Гол и Ара-Хубты с целью выяснения пригодности их для производства карбоната кальция занимался Ф. Ф. Толстиков (1953). Химически чистых известняков им не обнаружено, но часть отобранных проб по химическому составу соответствует нормальным доломитам, которые аналогичны оgneупорным доломитам месторождения — Пихтовая гора — на Урале и могут быть использованы как магнезиальные оgneупоры в металлургической промышленности и как флюсы в доменном производстве. В некоторых горизонтах доломиты пригодны для получения металлического марганца. Нами в карбонатных породах иркутской и монголинской свит по рекам Ара-Ошай, Ара-Хубты, Баром-Гол и Шумак взято шесть проб. Результаты анализов приведены в табл. 4.

Известняки, пригодные для химической промышленности в проанализированных пробах отсутствуют. Большинство проб по химическому составу соответствуют доломитам, которые могут быть использованы в металлургической промышленности для доменного производства или в качестве цементного сырья и строительной извести. Наиболее удобными для разработки являются карбонатные породы слюдянской серии архея, залегающие в долинах р. Иркута, в непосредственной близости от тракта Култук-Монды. Здесь они изучались Л. П. Ристопоженской (1955). В результате проведенных поисково-разведочных работ было выявлено несколько месторождений. Уральское месторождение известняков (60) расположено

Таблица 4

№ п. п.	П. п. п.	SiO ₂	Al ₂ O ₃	Fe ₂ O ₃	Р	Са	MgO	2	R ₂ O ₃
1	45,84	1,16	0,6	0,3	—	30,77	21,33	100	0,9
2	37,76	10,96	1,4	0,88	0,04	47,25	1,38	99,67	2,28
3	45,38	2,54	0,53	0,11	—	30,41	21,26	100,23	0,64
4	25,36	45,28	0,74	0,18	—	20,00	9,04	100,6	0,92
5	45,32	4,00	0,29	0,07	—	30,09	21,25	101,12	0,36
6	45,22	2,08	0,87	0,13	—	31,08	20,07	99,45	1,00

на левом берегу р. Иркут, в 7 км северо-западнее села Туран. Известняки образуют пластообразную залежь протяженностью 3,4 км, мощностью от 110 до 300 м. Они имеют крупнозернистое, массивное строение и содержат простой окременный катаклизированных доломитов, обогащенных лигнитом. Средний химический состав известняков: SiO₂ 50,07 %, Al₂O₃ 1,36 %, Fe₂O₃ 0,36 %, CaO 50,11 %, MgO 1,8 %, Р. п. п. 40,9 %. По составу они отвечают кондициям на сырье для цементной промышленности. Подсчитанные запасы ориентировочно составляют 8 млн. т, что соответствует среднему месторождению.

Другие месторождения известняков (Ниловское, Мой-Л. Г. Ристоложенской), по химическому составу также отвечают требованиям по этим месторождениям не подсчитывались.

В поселках Верхн. Бори, Харлабан, Бол. Занисан из карбонатных пород столбянской серии успешно выжигается известия для нужд местного строительства.

Источники минеральных вод

На территории листа известно много источников минеральных вод, которые используются местным населением в лечебных целях. Среди них выделяются следующие типы: 1. Углекислые термальные. 2. Термальные азотные. 3. Холодные сероводородные.

Углекислые термальные воды известны в долине р. Шумак — Шумакские источники (43). Здесь по обоим берегам реки на поверхности низких надпойменных террас и у подножий склонов выходят около 70 источников. Их суммарный дебит 600 м³/сутки. Температура воды колеблется от 17 до 39°С, содержание углекислоты — от 0,2 до 0,5 г/л. В более горячих источниках содержание углекислоты повышается до 0,6—0,7 г/л. По химическому составу воды — гидрокарбонатные углекислые магниево-кальциевые с минерализацией от 0,2 до 1,2 г/л. Несмотря на труднодоступность Шумакские источники используются местным населением для лечебных целей.

Термальные азотные воды известны в районе Ниловой пустыни в правом борту долины р. Агун-Ниловские источники (56). Источники вытекают у подножия склона трещинами в гранитах в обильном дебитом до 200 м³/сутки. Температура воды 42—45°, по химическому составу источников сульфатно-натриевые с минерализацией воды 1,0 г/л слабошелочные (РН — 7,98) и радиоактивные (64 эмана). Ниловские источники обладают ценными бальнеологическими свойствами. На базе их создан районный санаторий.

Минеральные и источники сероводородного типа известны возле оз. Хутун-Хутунский источник (54) и в долине р. Халсан-Ардан Халгуский (59). Источники имеют температуру 6°С содержит около 2 м/д

сероводорода. Их дебит не менее 50 м³/сутки. По химическому составу это — гидрокарбонатно-кальциевые воды. Источники используются местным населением в лечебных целях.

Заканчивая обзор полезных ископаемых, известных на площахи листа, можно сказать некоторые выводы. Наиболее перспективными видами полезных ископаемых являются золото, молибден, редкие земли и строительные материалы.

Пояс рудного золота, связанного с кварцевыми жилами и сульфидизированными зонами, в дальнейшем необходимо проводить в северной части площади — в бассейне р. Китой и ее правых притоков. Остальная территория листа на рудное золото беспersпективна.

Промышленные концентрации россыпного золота могут быть обнаружены в долине р. Китой. Прежде всего, заслуживает внимания Усть-Саганская проекция, для окончательной оценки которой необходимо опробовать нижние горизонты рыхлых отложений.

Другие долины рек, расположенные в гольмовой области, почти лишены аллювиальных отложений и не сложены для образования россыпей. Во владинах россыпи не известны.

Довольно широкое распространение молибдена в ореолах рассеяния, выявленных металлометрическим и шлифовым опробованием, позволяет считать территорию листа перспективной на молибден. Наиболее благоприятным объектом для поисков молибдена является Дундукольское проявление и его окрестности. Заслуживает дальнейшего изучения Шумакское проявление редких земель и лития.

На территории листа большое значение имеют строительные материалы. Запасы известняков, пригодных для производства цемента и известки, и базальтовых лав, пригодных в камнеобрабатывающей промышленности, практически неисчерпаемы.

Дальнейшие работы следует проводить прежде всего в северной части района, перспективной на золото.

Здесь, на площади листов М-47-11-Б, М-47-12-А, Б, можно рекомендовать проведение кондиционной геологической съемки масштаба 1 : 50 000. В южной части пошли листа слеутует провести поисковые работы на молибден в окрестностях Дундукольского проявления.

ПОДЗЕМНЫЕ ВОДЫ

Широко распространенная в районе многолетняя мерзлота является основным фактором, определяющим своеобразие и сложность гидрогеологических условий района. Многолетняя мерзлота имеет сплошное залегание и распространена на большую глубину. Мощность зоны мерзлых пород, по данным бурения, в соседних районах колеблется от 160—180 м. На Богословском месторождении графита до 400—500 м на Ильинском месторождении азбеста. Происхождение подземных вод на основном, инфильтрационное. По условиям залегания среди них выделяются верховодка и грунтовые воды.

Верховодка распространена в районе повсеместно и представлена водами деятельного слоя, мощность которого не превышает 3—3,5 м. Водоупором здесь является вечная мерзлота, иногда глинистые слои и скальный плитник. Наиболее развита верховодка имеет стволы валуно-галечно-гравийных отложений в долинах рек Ара-Ошай, Шумак, Халгутун, Иркут, Ихэ-Ухун и в Ильинской котловине. Питание этого типа вод происходит преимущественно за счет атмосферных осадков. С мая до конца октября воды деятельного слоя образуют многочисленные пресные источники с дебитом 0,1—2,0 л/сек. По химическому составу они относятся к гидрокарбонатно-кальциевым. Вода чистая, прозрачная, без запаха и вкуса; пригодна для питья.

Грунтовые воды представлены водами рыхлых отложений впадин, трещинно-карстовыми — в карбонатных породах и метаморфических породах, трещинно-

Грутовые воды рыхлых отложений Тункинской, Хойтогольской, Туринской и Мондинской впадин образуют водноносные горизонты, разделенные просториями глинистых пород. Бурением скважины в селе Хойтогол (Хойтогольская впадина) установлено два водноносных горизонта. Первый из них — беззапорный — залегает на глубине 8—36 м. Глубина кровли второго горизонта 42,5 м. Напор воды в нем достигает 35 м. Установившиеся статический уровень водноносных горизонтов равен 8 м. Вода скважины не имеет запаха, цвета и вкуса, обладает слабошелочной реакцией ($pH = 8$). Общая жесткость ее 3,54, карбонатная 2,9. Вода пригодна для питья и технического водоснабжения.

Трещинные воды в изверженных и метаморфических породах распространены широко. Питаются они, в основном, за счет атмосферных осадков, усугубленных инфильтрации которых ограничены существованием многолетней мерзлоты. Эти воды в виде жилообразных водноносных горизонтов проникают к зонам дробления пород. В долинах рек и на склонах водоразделов трещинные воды образуют источники, функционирующие круглый год. Их дебит не превышает 2—2,5 л/сек.

Трещинно-карстовые воды в карбонатных породах района имеют незначительное распространение. Это объясняется наличием многолетней мерзлоты и интенсивным окварцеванием карбонатных пород. Развитие карстовых явлений связано с инфильтрацией атмосферных осадков по трещинам. Небольшие по дебиту (до 1,5—2 л/сек) источники трещинно-карстовых вод отмечены в долине р. Шумак. Воды этих источников относятся к гидрокарбонатно-кальевому типу.

Минеральные воды имеют в районе большое значение. По температуре среди них выделяются термальные и холотные.

Термоминеральные воды района, по А. И. Ливенко и В. И. Валентинскому (1940), образуются за счет атмосферных осадков. Инфильтруясь на большую глубину, они насыщаются углекислого, выделяющейся при прохождении известников сократившимся теплом «молодых» вулканических очагов. Насыщенная углекислого водой приобретает большую агрессивную способность и, минерализуясь, поднимается на поверхность. На территории листа известны Ниловские и Шумакские термоминеральные источники, которые обладают целебными свойствами и описаны в главе «Полезные ископаемые», а также источник, расположенный на левом берегу р. Китоя, в 4 км ниже устья р. Саган-Сайр. Воды этого источника, слабо фонтанируя, изливаются на поверхность первой надпойменной террасы. Его дебит равен 2,5—3 л/сек.

Источники холодных минеральных вод наблюдаются во многих местах.

Некоторые из них обладают целебными свойствами и были отмечены выше.

Среди других, менее значительных, следует отметить сернистые источники по рекам Ара-Олей и Ара-Хубьбыты, а также солистый источник по р. Яман-Гол.

ЛИТЕРАТУРА

Опубликованная

- Арсентьев В. П. Краткий очерк тектоники юго-восточной части Восточного Саяна. Тр. БКНИ СО АН СССР, сер. геол.-геогр., вып. 2, Улан-Удэ, 1960.
- Бело И. В. Перспективы промышленного использования базальтов юго-западной части Бурят-Монгольской АССР (Тункинская система впадин). Мат-лы по изуч. производст. сил Бурят-Монгольской АССР. Вост.-Сиб. филиал АН СССР, вып. II, 1957.
- Бузиков И. П. О бручев С. В. Стратиграфия и тектоника докембрия Тункинских гольцов (Восточный Саян). Мат-лы по изуч. производст. сил Бурят-Монгольской АССР. Вост.-Сиб. филиал АН СССР, вып. III, 1957.
- Бузиков И. П., Другова Г. М. Конгломераты в архее Тункинских гольцов (хр. Восточный Саян). Тр. Лаборатории геологии докембра АН СССР, вып. 9, 1960.

Валединский В. И., Ливенко А. И. Курорты и минеральные источники Бурят-Монгольской АССР. Гос. центр. институт курортологии, 1940.

Дав В. Н. Мат-лы к геологии и петрографии Обручского месторождения алмата. Тр. Лаборатории геологии докембра АН СССР, вып. 8, 1959.

Долин А. Л., Кудрявцев Г. А. Объяснительная записка к геологии ческой карте Тувинской автономной области масштаба 1 : 1 000 000. Госгеолиздат, 1951.

Другов Г. М. Северная часть Хонгольской глыбы архея Тункинских гольцов (Восточный Саян). Мат-лы по изуч. производст. сил Бурят-Монгольской АССР. Вост.-Сиб. филиал АН СССР, вып. III, 1957.

Лодчиков В. Н. О базальтах юго-западного Прибайкалья. «Советская геология» 1938, № 5.

Лючинков В. Н. К геологии базальтов бассейна р. Иркута. Изв. АН СССР, сер. геол. № 2, 1941.

Лодчиков В. Н. Петрология Илчирско-Мондинского района. Тр. Вост.-Сиб. геол. управл., вып. 28, Иркутск, 1941.

Лурье М. Л., Обручев С. В. Докембрский Восточный Саян и Хамар-Дабан (стратиграфия имагматизм). Изв. АН СССР, сер. геол. № 6, 1950.

Львов А. В. О геологических исследованиях в Тункинских и Китайских альпах. «Советская Азия», 1950, № 3—4 и 5—6.

Митрофанов Ф. П. О форме и геологическом положении Хонгольского массива гранитов (западная часть Тункинских гольцов Восточного Саяна). Некоторые вопросы геологии азиатской части СССР. Изд-во АН СССР, 1959.

Никитина Л. П., Сумин И. В. Докембрый западной части хр. Хамар-Дабан (между рр. Харалг и Зун-Мурин). Мат-лы по изуч. производст. сил Бурят-Монгольской АССР. Вост.-Сиб. филиал АН СССР, вып. III, 1957.

Обручев А. Л. П. Метаморфизм архейских пород западной части хр. Хамар-Дабан. Автореферат докторской диссертации. Изд. Лаборатории геологии докембра АН СССР, Л, 1960.

Обручев В. А. История геологических исследований Сибири. Периоды второй, третьей, четвертой, пятой. Изд-во АН СССР, 1933—1947.

Обручев С. В. Основные черты тектоники и стратиграфии Восточного Саяна. Изв. АН СССР, сер. геол., № 5—6, 1942.

Обручев С. В. Орография и геоморфология восточной половины Восточного Саяна. Изв. ВГО, № 5—6, 1946.

Обручев С. В. Развитие рельефа Восточного Саяна. Тр. ин-та геогр. АН СССР, вып. 37, 1946.

Обручев С. В. Тектоника западной части Саяно-Байкальской каледонской складчатой зоны. Докл. АН СССР, т. 68, № 5, 1949.

Обручев С. В. Восточная часть Саяно-Тувинского нагорья в четвертичное время. Изв. ВГО № 5, 1953.

Соболев Н. Д. Мат-лы по геологии и петрографии Тункинских и Китайских альп (Восточный Саян). Изд. АН СССР, ч. I М.—Л., 1940.

Ткачук В. Г., Янитская Н. В., Анкудинова Г. А. Минеральные воды Бурят-Монгольской АССР. Вост.-Сиб. филиал АН СССР, 1957.

Флоренсов Н. А. Геоморфология и новейшая тектоника Забайкалья. Изв. АН СССР, сер. геол. № 2, 1948.

Флоренсов Н. А. Докторская (Западное Прибайкалье) Изв. АН СССР, сер. геол. № 5, 1953.

Флоренсов Н. А. О роли разломов и прогибов в структуре владимиро-байкальского типа. Вопр. геол. Азии, т. 1 Изд. АН СССР, М.—Л., 1954.

Флоренсов Н. А. Геологическое строение Бурят-Монголии (краткий очерк). Мат-лы по изуч. производст. сил Бурят-Монгольской АССР. Вост.-Сиб. филиал АН СССР, вып. 1, 1954.

Флоренсов Н. А. К геологии межгорных владимиро-байкальского и ближнего Забайкалья. Мат-лы по изуч. производст. сил Бурят-Монгольской АССР. Вост.-Сиб. филиал АН СССР, вып. II, 1956.

Флоренсов Н. А. Мезойские и кайнозойские впадины Прибайкалья
Тр. Вост. Сиб. филиал АН СССР, сер. геол., вып. 19, 1960.

Фондовая

и полезные ископаемые бассейна р. Читы Иркут (Отчет Черно-Иркутской поисково-съемочной партии за 1955 г.). Фонды Бурятского геол. упр. Арентьев В. П. Государственная геологическая карта СССР масштаба 1:200 000. М-47. V. Объяснительная записка (рукопись). Фонды Бурятского геол. упр., 1959.

Арсеньев В. П., Огиенко Б. В., Риханов А. П. Геология полезных ископаемых верховьев рек Китоя, Урика и Онога (Отчет Тункинско-Сайской партии по геологической съемке в масштабе 1:200 000 за 1958—1959 гг.). Фонды Бурятского геол. упр.

Верхозин А. И., Калинин В. П., Танырев Д. Н. Предварительный отчет по результатам поисково-разведочных работ Комсомольской партии за 1956—1958 гг. Фонды Бурятского геол. упр.

Вишняков Н. Н., Лебов В. А. Отчет о результатах работ Верхнеархутской поисково-съемочной партии в районе междууречья Китоя и Арангана. Фонды Бурятского геол. упр., 1958.

Волколов Ф. К., Кандалова Л. Я., Самбуруг А. Л. Отчет по результатам геологической съемки в масштабе 1:200 000 за 1956—1957 гг. Фонды Бурятского геол. упр.

Логинов Н. Ф. Предварительный отчет по проверке заявки на олово в районе хр. Монго. Фонды Бурятского геол. упр., 1937.

Лодочников В. Н. Несколько интересных данных о базальтах юго-западного Прибайкалья от ст. Монды до ст. Кырена. Задачи изучения базальтов. Фонды Бурятского геол. упр., 1937.

Лупенок П. Е. Геологические исследования в южном Саяне. Предварительный отчет за 1931. Фонды Бурятского геол. упр.

Луненок П. Е. Полевой отчет Хамар-Дабанской геологической партии за 1933 г. Фонды Бурятского геол. упр.

Налетов П. И. Отчет о работе Нитово-Тункинской геологописковой партии в 1930 г. Фонды Бурятского геол. упр.

Налетов П. И. Геологический очерк долины верхнего течения р. Иркута (Отчет Саяно-Мондинской геологической партии за 1932 г.). Фонды Бурятского геол. упр.

Пелетов П. Д., Донцов В. Ф. Отчет по Утуликской и Туранско-Исполемской партиям за 1939 г. Фонды Бурятского геол. упр.

На цемсыре в Тункинском районе в 1954 г. Фонды Бурятского геол. упр.

Самбург А. Л., Самбург Н. К., Ситников В. П., Рипп Г. С. Геология и полезные ископаемые бассейна верхнего течения р. Иркута и правобережья р. Китоя (Отчет Тункинской партии по геологической съемке в масштабе 1:200 000 за 1958—1959 гг.). Фонды Бурятского геол. упр.

Старчак Л. И., Ананин В. В. Отчет Верхне-Китайской партии о геологописковых работах за 1959 г. Фонды Бурятского геол. упр.

Сушкевич Б. И. Отчет о результатах поисково-разведочных работ на апатиты в Слюдянском районе Иркутской области и Тункинском районе БМАССР за 1955—1956 гг. Фонды Бурятского геол. упр.

Такаши Г. К., Ерхов В. Ф., Уткин Ю. П. и др. Отчет Сархойской партии по геологической съемке в масштабе 1:200 000 за 1960 г. Северо-западная и центральная части листа N-47-XXXIV (Восточный Саян).

Фонды Бурятского геол. упр.

Толстиков Ф. Ф. Отчет о работе Ямангольской поисково-съемочной партии, проведенной в бассейнах рек Яман-Тол и Ара-Хубты (левый приток р. Ара-Онгей) за 1953 г. Фонды Бурятского геол. упр.

Фоглер В. К. Отчет о результатах работ комплексной Тункинской геофизической партии за 1951 г. Фонды Бурятского геол. упр.

Фомин Н. И. Геологическое строение центральной части хр. Хамар-Дабан. Отчет Хамар-Дабанской геологотехнической партии ВСГУ за лето 1939 г. Фонды Иркутского геол. упр.

Шемякин Ю. В., Ананин В. В., Ефремов Ю. Ф. Отчет о результате течения рек Ара-Онгей, Шумак и правобережья р. Китой. Фонды Бурятского геол. упр.

Шергин Б. В., Заболотников В. П. Отчет о поисковых работах Саган-Сайской партии в бассейне рек Саган-Сайр и Арлык-Гол (левые притоки р. Китой) за 1957 г. Фонды Бурятского геол. упр.

Шестопалов М. Ф., Иванов А. С. К вопросу об атмазонности Восточного Саяна. Фонды Бурятского геол. упр., 1956.

ПРИЛОЖЕНИЕ I

**СПИСОК МАТЕРИАЛОВ, ИСПОЛЬЗОВАННЫХ ДЛЯ СОСТАВЛЕНИЯ
КАРТЫ ПОЛЕЗНЫХ ИСКОПАЕМЫХ**

№ п/п	Фамилия и инициалы автора	Название работы	Год со- ставления или издания		Местонахождение материала, его фоновыми № или место издания
			Год со- ставления или издания	Местонахождение материала, его фоновыми № или место издания	
1	Ристороженская Л. П.	Отчет о поисково-разведочных работах на юго-западе Тункинского района в 1954 г.	1955	Фонды Бурятского геологического управления	Улан-Удэ
2	Белов И. В.	Перспективы промышленного использования базальтов в юго-западной части Буяят-Монгольской АССР (Тункинская система впадин)	1957	Фонды Бурятского геологического управления	Улан-Удэ
3	Сушкевич Б. И.	Отчет о результатах поисково-разведочных работ на апатиты в Слюдянском районе Иркутской области и Тункинском районе БМАССР за 1955—1956 гг.	1957	Фонды Бурятского геологического управления	Улан-Удэ
4	Ткачук В. Г., Яснитская Н. В., Анкудинова Г. А.	Минеральные воды Бурят-Монгольской АССР	1957	Фонды Бурятского геологического управления	Улан-Удэ
5	Вишняков Н. Н., Лбов Б. А.	Отчет по результатам поисково-съемочной партии в районе Междуречья Китоя и Ара-Ошэя	1958	Фонды Бурятского геологического управления	Улан-Удэ
6	Шемякин Ю. В., Ананьев В. В., Ефремов Ю. Ф.	Отчет о результатах геолого-поисковых работ Нижне-Шумакской партии в бассейнах нижнего течения рек Ара-Ошэй, Шумяк и правобережья р. Китой	1958	Фонды Бурятского геологического управления	Улан-Удэ
7	Шергин Б. В., Заболотников В. П.	Отчет о поисковых работах Саган-Сайрской партии в бассейне рек Саган-Сайр и Арлык-Тол (левые притоки р. Китой) за 1957 г.	1958	Фонды Бурятского геологического управления	Улан-Удэ
8	Самбург А. Л., Самбург Н. К., Сигников В. П., Рипп Г. С.	Геология и полезные ископаемые верхнего течения р. Иркута и правобережья р. Китая. (Отчет Тункинской партии)	1960	Фонды Бурятского геологического управления	Улан-Удэ

Продолжение прилож. 1

№ п/п	Фамилия и инициалы автора	Название работы	Год со- ставления или издания		Местонахождение материала, его фоновыми № или место издания
			Год со- ставления или издания	Местонахождение материала, его фоновыми № или место издания	
9	Старчак Л. И., Ананьев В. В.	Отчет Верхне-Китойской партии о геологопоисковых работах за 1959 г.	1960	Фонды Буяятского геологического управления	Улан-Удэ

ПРИЛОЖЕНИЕ 2

**СПИСОК ПРОМЫШЛЕННЫХ МЕСТОРОЖДЕНИЙ ПОЛЕЗНЫХ ИСКОПАЕМЫХ, ПОКАЗАННЫХ
НА ЛИСТЕ М-47-VI КАРТЫ ПОЛЕЗНЫХ ИСКОПАЕМЫХ МАСШТАБА 1:200 000**

№ на карте	Индекс клетки на карте	Наименование месторождения и вид полезного ископаемого	Состояние эксплуатации	Тип месторождения (К—коренное, Р—россыпное)	№ использованного материала по списку (приложение 1)	Примечание
48	II-1	Стройматериалы Вулканические туфы по р. Хулугайша	Не эксплуатируется	К	2	Туфы приурочены к вулканическому аппарату. Пригодны для производства различных цементов. Ориентировочные запасы около 2 млн. т
60	III-3	Известняки Туранское	То же	К	1	Известняки образуют пластообразную за- лежь протяженностью 3,4 км, мощностью 100—300 м. Пригодны в качестве цементного сырья и строительной извести. Ориен- тировочные запасы 8 млн. т

ПРИЛОЖЕНИЕ 3
**СПИСОК НЕПРОМЫШЛЕННЫХ МЕСТОРОЖДЕНИЙ ПОЛЕЗНЫХ ИСКОПАЕМЫХ, ПОКАЗАННЫХ
НА ЛИСТЕ М-47-VI КАРТЫ ПОЛЕЗНЫХ ИСКОПАЕМЫХ МАСШТАБА 1:200 000**

№ на карте	Индекс клетки на карте	Наименование месторождения и вид полезного ископаемого	Состояние эксплуатации	Тип месторождения (К—коренное, Р—россыпное)	№ использованного материала по списку (приложение 1)	Примечание
10	I-2	Золото Усть-Сагансайская		Р	5	Содержание золота от редких знаков до 1008 мг/м ³ сосредоточено в отложениях первой надпойменной террасы долины р. Китой. Зерна золота окатаны, размер их от 0,1 до 0,5 мм
12	I-2	Горелое		Р	9	Золото содержится в рыхлых отложений долины р. Китой. В русловых пробах обнаружены знаковые, реже весовые со-держания золота (от 0,03 до 0,7 г/м ³). Золотоносные отложения прослежены на рас-стоянии 10 км. Максимальное содержание золота сосредоточено в пойме
58	III-2	Апатит Обрубское	Не эксплуатируется	К	3	Апатит приурочен к диопсидовым квар-цитам, кварцеводиопсидовым породам и кальцифирам слюдянской серни. Подсчи-танные запасы составляют 20 тыс. т при среднем содержании Р ₂ O ₅ 5,85%

**СПИСОК ПРОЯВЛЕНИЙ ПОЛЕЗНЫХ ИСКОПАЕМЫХ, ПОКАЗАННЫХ НА ЛИСТЕ М-47-VI
КАРТЫ ПОЛЕЗНЫХ ИСКОПАЕМЫХ МАСШТАБА 1 : 200 000**

№ по карте	Индекс клетки на карте	Название (местонахождение) проявления и вид полезного ископаемого	Характеристика проявления	№ использованного материала по списку (приложение 1)	Примечание
5	I-1	<i>Гематитовые руды</i> Ара-Хонголдойское	Вкрапленность гематита в гнейсах. Содержание железа 36,99%	8	Гнейсы образуют прослой мощностью 20—30 м в сланцах ильчирской свиты
1	I-1	<i>Медь</i> Водораздел рек Шара-Гол и Китой	Кварцевая жила мощностью 9—10 м с вкрапленностью пирита, халькопирита и натеками малахита	8	
3	I-1	Водораздел рек Шара-Гол и Китой	Кварцевая жила мощностью 10—12 м с вкрапленностью пирита, ковеллина и натеками малахита	8	Химический анализ штуфной пробы показал содержание меди 0,52%
22	I-3	Среднее течение р. Ара-Хубыты	Серия кварцевых прожилков с сульфидами. Содержание меди по данным спектрального анализа более 1%	8	Кроме меди, спектральным анализом обнаружено 0,003% висмута и следы серебра
46	I-4	Правобережье р. Шумак	Серия обогренных кальцитовых прожилков, содержащих по данным спектрального анализа 0,03% меди и 0,3—1% стронция		Мощность прожилков до 1 см
14	I-2	Р. Жолга (правый приток р. Китой)	Ореол рассеяния малахита по данным шлихового рассеяния	5	Малахит отмечен в шести пробах в редких знаках

16	I-2	<i>Свинец</i> Р. Ара-Ошей	Ореол рассеяния малахита по данным шлихового опробования	5	Галенит присутствует в восьми пробах в редких знаках
40	I-4	Р. Шумак	Ореол рассеяния малахита по данным шлихового опробования	6	Галенит отмечен в редких знаках
4	I-1	<i>Полиметаллические</i> Правобережье р. Ша-Гол	Глыбы с натеками малахита и ковеллина. Химическим анализом установлены: медь 0,66%, цинк 0,06%, олово 0,04%	8	Спектральный анализ показал до 1% мышьяка, 0,03% висмута и 0,1% сурьмы. Пробирным анализом установлены следы золота и серебра
26	I-3	Верховья р. Ара-Хубыты	Вкрапленность пирротина, пирита и халькопирита в сланцах монгошинской свиты	8	Пробирным анализом установлено от 2,4 до 10 г/т серебра. Спектральный анализ показал 0,01—0,03% цинка
29	I-3	Верховья р. Зун-Гол	Глыбы кварца с халькопиритом, лимонитом и ковеллином. Пробирным анализом штуфных проб установлены серебро от 4,0 до 8,7 г/т и следы золота	8	Величина глыб 20×30 см. Спектральный анализ показал более 3% меди и 0,01% никеля и цинка
30	I-3	Верхнее течение р. Зун-Гол	Глыбы кварца, содержащие борнит, халькозин, малахит, лимонит, ковеллин. Спектральный анализ штуфной пробы показал более 1% меди, 0,003% висмута, 0,01% свинца и 0,001% серебра	8	Величина глыб 30×40 см. Пробирным анализом установлены следы золота и серебра
33	I-3	Водораздел рек Шумак и Зун-Гол	Кварцевые жилы мощностью 30—40 см с вкрапленностью магнетита, халькопирита, халькозина, борнита, ковеллина	8	Спектральным анализом установлены более 5% меди, 0,1% висмута и 0,003% свинца, цинка и никеля

Продолжение прилож. 3

№ по карте	Индекс клетки на карте	Название (местонахождение) проявления и вид полезного ископаемого	Характеристика проявления	№ использованного материала по списку (приложение 1)	Примечание
34	I-3	Водораздел рек Яман-Гол и Шумак Медь, свинец, цинк	Глыбы кварца размером до 1м×1 м с вкрапленностью пирита и лимонита. Пробирным анализом установлено 9,0 г/т серебра	8	Спектральный анализ показал 0,03% меди и цинка, 0,001% кобальта и молибдена, 0,003% свинца и никеля
25	I-3	Бассейн р. Зун-Гол	Ореол рассеяния по данным металлометрического опробования	8	Среднее содержание этих элементов в пробах составляет 0,01—0,03%
44	I-3	Бассейн р. Шумак Мышьяк	Ореол рассеяния по данным металлометрического опробования	8	Среднее содержание этих элементов в пробах составляет 0,01—0,03%
6	I-1, 2	Р.р. Бого-Хонголдой и Ара-Хонголдой Золото	Ореол рассеяния по данным шлихового опробования	5	Арсенопирит встречен в редких зонах в 41 пробе
7	I-2	Правобережье р. Саган-Сайр	Глыбы кварца с пиритом. Содержание золота 0,6 г/т, серебра 5,8 г/т	7	Величина глыб до 0,4×0,5 м
9	I-2	Раннее	Четыре кварцевые жилы. Содержание золота 0,5—2,8 г/т и серебра — от следов до 3,2 г/т	5	Средняя мощность жил 1—1,5 м, по простиранию они прослежены на 50—150 м

11	I-2	Проявление Скалистое	Две зоны рассланцованных и окварцованных известняков. Из 25 проб три пробы показали содержание золота от 0,4 до 2,4 г/т и серебра от следов до 2,8 г/т	5	Мощность зон 5—6 м. Кварц в виде инъекций и прожилков содержит вкрапленность пирита, халькопирита и блеклых руд
13	I-2	Холголдойское проявление	Кварцевая жила с сульфидами. Содержание золота от 0,2 до 2,4 г/т и серебра от следов до 1 г/т	5	Мощность жилы 3 м. В одной пробе содержание золота 64,4 г/т и серебра 86,8 г/т
15	I-2	Проявление Восточное	Пять окварцованных и сульфидизированных зон. Пробирный анализ показал содержание золота от 0,2 до 1,2 г/т и серебра — от 3,0 до 4,4 г/т	5	Мощность зон достигает 3—5 м
24	I-3	Ямангольское проявление	Линза сульфидизированных сланцев среди известняков монгошинской свиты. Пробирный анализ показал содержание золота 18,2 г/т и серебра 12,8 г/т	6	Линза прослежена по простиранию на 30 м
27	I-3	Правый приток р. Зун-Гол	Глыбы кварца с вкрапленностью борнита, пирита, халькопирита, халькоцина и ковеллина. Содержание золота 0,7 г/т и серебра 68,0 г/т	8	Величина глыб кварца до 0,5 м в поперечнике. Спектральным анализом установлены медь — более 5%, висмут — 0,01%, свинец — 0,003% и серебро — 0,003%
28	I-3	Левый приток р. Яман-Гол	Глыбы кварца с вкрапленностью пирита и халькопирита. Содержание золота 1,2 г/т, серебра 1,4 г/т	6	Величина глыб кварца около 0,5 м в поперечнике
31	I-3	Левый приток р. Зун-Гол	Глыбы кварца с вкрапленностью пирита. Пробирным анализом установлено 1,6 г/т золота и 15,6 г/т серебра	8	Спектральный анализ показал 0,003% свинца и следы бериллия

Продолжение прилож. 4

№ по карте	Индекс клетки на карте	Название (местонахождение) проявления и вид полезного ископаемого	Характеристика проявления	№ использованного материала по списку (приложение 1)	Примечание
32	I-3	Верховья р. Зун-Гол	Глыбы кварца с вкрапленностью халькопирита, борнита, халькоэзина и ковеллина. Содержание золота — 1,3 г/т, серебра 45,8 г/т	8	Величина глыб кварца 30×40 см. Спектральным анализом установлено более 5% меди, 0,003% свинца и 0,001% серебра
35	I-3	Истоки левого притока р. Шумак	Вкрапленность халькопирита, халькоэзина, борнита, ковеллина, малахита, лимонита в глыбах кварца. Содержание золота 3,3 г/т, серебра 18,0 г/т	8	Величина глыб кварца 30×40 см. Спектральный анализ показал более 3% меди
2	I-1, 2, 3	Р.р. Китой, Бого-Хонголдой, Жолга <i>Молибден</i>	Ореол рассеяния по данным шлихового опробования	8	Золото отмечено в редких знаках и знаках
21	I-2	Ара-Ошайское	Кварцево-молибденитовые прожилки в грейзенизированных гранитах. Химическим анализом установлено содержание молибдена от следов до 0,02%	5	Мощность прожилков 1—2 см, реже 3—4 см. Спектральный анализ гранитов показал содержание молибдена — 0,003%, олова — 0,001%, цинка — 0,01%, титана — 0,1% и меди — 0,1%
51	II-1	Хулусапсатинское	Пегматитовые жилы и прожилки с вкрапленностью молибденита. Содержание молибдена по данным химического анализа не превышает 0,01%	8	Мощность прожилков от 2—3 см до 10—15 см

4	64	III-3	Дундугольское	Штокверковая зона кварцевых прожилков. Химическим анализом установлено содержание меди 0,01%—0,17% и молибдена 0,002—0,003%	8	Мощность зоны около 60 м. По простиранию прослежена на 700 м
Зак. 03326	63	III-3, 4	р. Дунду-Гол	Ореол рассеяния по данным шлихового опробования	8	Молибденит отмечен в знаках
	17	I-2	р. Ара-Ошей	Ореол рассеяния по данным шлихового опробования	8	Молибденит отмечен в редких знаках
	42	I-4	р. Шумак	Ореол рассеяния по данным шлихового опробования	8	Молибденит присутствует в редких знаках
	39	I-4	Левобережье р. Шумак	Ореол рассеяния по данным металлометрического опробования	8	Содержание молибдена 0,001—0,003%
	41	I-4	Правобережье р. Шумак	Ореол рассеяния по данным металлометрического опробования	8	Содержание молибдена 0,001—0,003% и бериллия 0,01—0,03%
	47	I, II-4	Бассейн рч. Илтышнин	Ореол рассеяния по данным металлометрического опробования	8	Содержание молибдена 0,001—0,003%
	57	II-4	Бассейн р. Бол. Шургута	Ореол рассеяния по данным металлометрического опробования	8	То же
	49	II-1	Бассейн р. Хулусапсата	Ореол рассеяния по данным металлометрического опробования	8	" "
	53	II-3	Бассейн р. Хургуты	Ореол рассеяния по данным металлометрического опробования	8	Содержание молибдена 0,001—0,003% и бериллия 0,01—0,03%
	55	II-3	Бассейн р. Мал. Хонголдой	Ореол рассеяния по данным металлометрического опробования	8	То же
	61	III-IV-3, 4	Бассейн р. Мал. Зангисан <i>Бериллий</i>	Ореол рассеяния по данным металлометрического опробования	8	" "
49	36	I-3	Бассейн р. Хубыты	Ореол рассеяния по данным металлометрического опробования	8	Содержание бериллия не превышает 0,01—0,03%

№ по карте	Индекс клетки на карте	Название (местонахождение) проявления и вид полезного ископаемого	Характеристика проявления	№ использованного материала по списку (приложение 1)	Примечание
62	III-3	Верховья р. Мал. Зангисан <i>Литий</i>	Ореол рассеяния по данным металлометрического опробования	8	Содержание бериллия не превышает 0,01—0,03%
18	I-2	Ара-Ошайское	В скарнах отмечаются тремолит, тальк, мусковит, литиевая слюдка. Содержание лития 0,03%	8	Скарны наблюдаются на контакте известняков с гранитами
19	I-2	Второе Ара-Ошайское	В скарнах-тремолит, тальк, мусковит, литиевая слюдка. Содержание лития 0,03%	8	То же
20	I-2	Третье Ара-Ошайское	В скарнах-тремолит, тальк, мусковит, литиевая слюдка. Содержание лития 0,1%	8	" "
23	I-3	Водораздел рек Ара-Ошей и Ара-Хубыты <i>Тантал и ниобий</i>	Скарны с тремолитом, тальком, мусковитом, литиевой слюдкой. Содержание лития 0,03%	8	" "
65	III-4	р. Бол. Зангисан	В катаклизированных гранитах спектральным анализом обнаружены 0,01—0,03% ниobia, иттрия и циркония	8	Граниты обладают повышенной радиоактивностью 60—65 мкр/час
50	II-1, 2	р. Бурухтуй	Ореол рассеяния по данным шлихового опробования	8	Тантало-ниобиевые минералы встречаются в редких знаках

52	II-2	<i>Ниобий</i> Бассейн р. Бого-Буланай	Ореол рассеяния по данным металлометрического опробования	8	Содержание ниobia в пробах составляет 0,01%
45	I-4	<i>Редкие земли</i> Шумакское	Зона пиритизации углистых сланцев и алевролитов. Спектральным анализом бороздовых проб установлены: лантан 0,01—0,03%, иттрий 0,01%, скандий 0,003%, литий 0,03—0,3%, молибден 0,003—0,01%, цинк 0,01—0,1%, ванадий 0,01—0,1%	8	Мощность зоны пиритизации 65 м. По простиранию она прослежена на 400 м. Пробы, содержащие редкие земли и лантан, взяты из средней части зоны
37	I-3	<i>Хутыбтское</i>	Прослой сульфидизированных углисто-карbonатных сланцев среди известняков. Спектральным анализом установлены иттрий и лантан — 0,003—0,01%	8	Мощность прослоя около 65 м. По простиранию он прослежен на 150—200 м. Сульфидизированные породы имеют повышенную радиоактивность 30—40 мкр/час.
66	IV-4	<i>Лантан</i> Бассейн р. Бол. Зангисан	Ореол рассеяния по данным металлометрического опробования	8	
8	I-2	<i>Исландский шпат</i> Сангансайское	Пустоты в известняках монготинской свиты, заполненные слабо просвечивающими в краевых частях кристаллами кальцита	7	Диаметр пустот от 1—2 до 10 м. Размер кристаллов 5—10 см в поперечнике
43	I-4	<i>Источники минеральных вод</i> Шумакские	Около 70 мелких источников с суммарным дебитом 600 м ³ /сутки. Температура воды от 17 до 39°С	4	Воды гидрокарбонатные углекислые магнео-кальциевые с минерализацией от 0,2 до 1,2 г/л

Продолжение прилож.

№ по карте	Индекс клетки на карте	Название (местонахождение) проявления и вид полезного ископаемого	Характеристика проявления	№ использованного материала по списку (приложение 1)	Примечание
56	II-3	Ниловские	Источники вытекают тремя выходами из трещин в гранитах. Общий дебит 200 м ³ /сутки. Температура 42—45° С	4	Воды сульфатно-натриевые с минерализацией 1,0 г/л слабошелочные и радиоактивные
54	II-3	Хутунский	Дебит источника 50 м ³ /сутки температура 6° С	4	Воды гидрокарбонатно-кальциевые, содержат около 2 мг/л сероводорода
59	III-2	Аршан Халагунские	Несколько источников с суммарным дебитом около 50 м ³ /сутки. Температура 6° С	4	Воды гидрокарбонатно-кальциевые